

VŠST Liberec  
nositelka Řádu práce

Fakulta textilní  
Obor 31 - 11 - 8

Technologie textilií, kůže, gumeny a plastických hmot

zaměření  
netkané textilie - ekonomika  
Katedra netkaných textilií

PODMÍNKY TEPELNÉHO ZPRACOVÁNÍ NETKANÝCH TEXTILIÍ  
ZE SOUSTAV NITÍ

Josef Qualizza

vedoucí práce : Prof.Ing.Dr.techn.Radko Krčma,DrSc. - VŠST  
konzultant : Ing.Jaroslav Matějka,CSc. - VŠST

Rozsah práce a příloh :

Počet stran : 48  
Počet příloh : 30  
Počet tabulek : 4  
Počet obrázků : 10

KUT/KE-EK

Vysoká škola: strojní a textilní

Katedra: netkaných textilií

Fakulta: textilní

Školní rok: 1980/81

# DIPLOMOVÝ ÚKOL

pro Josef Qualizzi

obor 31-11-5 Technologie textilu, kůže, gumy a plastických hmot

Protože jste splnil požadavky učebního plánu, zadává Vám vedoucí katedry ve smyslu směrnic ministerstva školství a kultury o státních závěrečných zkouškách tento diplomový úkol:

Název tématu: Podmínky tepelného zpracování netkaných textilií  
ze soustav nití

## Pokyny pro vypracování:

- 1/ Shrňte poznatky o tepelných vlastnostech vláknenných materiálů (zvláště POP, PVC-Cl, PAD, sklo) a tepelných podmírkách na daném modelovém zařízení.
- 2/ Vyšetřete podmínky pro natavení soustav termoplastických a základních nití
- 3/ Stanovte požadavky na zařízení k natavování soustav při rychlosti průchodu do 20 m/min.

Autorské právo se řídí směrnicemi  
MŠK pro státní zkoušky č. 51-31  
72/1979 z d. 9.1.1. vydání  
1982 Vlastníkem je akadem. ředitel  
dne 31.8.1982 sč. 19 soub. č. 115/535b.

VYŠOKÁ ŠKOLA STROJNÍ A TEXTILNÍ  
Ústřední knihovna  
LIBEREC 1, STUDENTSKÁ 5  
PSČ 461 17

## O B S A H

	str.
1. Seznam použitých fyzikálních veličin .....	6
2. Úvod .....	8
3. Princip výroby pojene textilie ze soustav nití ...	10
4. Tepelné vlastnosti vlákenných materiálů vhodných pro výrobu pojene textilie ze soustav nití .....	13
4.1. Tepelná vodivost a měrné teplo .....	13
4.2. Teplota zeskelnění .....	14
4.3. Teplota měknutí a teplota tání .....	16
5. Proces proteplování vlákenné vrstvy .....	18
5.1. Stanovení doby $T_m$ Schmidtovou grafickou metodou konečných rozdílů .....	20
5.1.1. Podmínky pro praktické použití Schmidtovy gra- fické metody konečných rozdílů .....	24
5.2. Využití poznatků z výroby pojene textilie v n.p. RETEX na závodě v Liberci .....	25
5.3. Stanovení celkového součinitele přestupu tepla .....	29
5.3.1. Výpočet součinitele přestupu tepla podle teorie podobnosti .....	32
5.3.2. Obecný pohled na výpočet součinitele přestupu tepla $\alpha_D$ .....	33
5.3.2.1. Praktický výpočet součinitele přestupu tepla $\alpha_p$ při proteplování termoplastických nití .....	35

5.3.3. Praktický výpočet součinitele přestupu tepla $\alpha_p$ při proteplování termoplastických nití.	36
5.4. Výpočet celkového součinitele přestupu tepla $\alpha_t$ při proteplování termoplastických nití .....	38
6. Vliv chladícího děníku lišt lišťového řetězu při proteplování nití .....	39
7. Tabulky s výsledky teoretického řešení proteplování soustav nití a zhodnocení dosažených výsledků.	40
8. Závěr .....	45
9. Seznam použité literatury .....	48

## 1. Seznam použitých fyzikálních veličin.

- a ... součinitel teplotní vodivosti [m]  
c ... měrné teplo [ $J \cdot kg^{-1} \cdot K^{-1}$ ]  
Gr ... Grashoffovo podobnostní číslo  
g ... tříhové zemské zrychlení [ $m \cdot s^{-2}$ ]  
L ... průměr topného natavovacího válce [m]  
 $\ell$  ... délka [m]  
m ... hmotnost [kg]  
M ... počet úseků  $\Delta x$ , ve kterých sledujeme průběhy teplot  
v proteplovaném materiálu  
Nu ... Nusseltovo podobnostní číslo  
Pr ... Prandtlovo podobnostní číslo  
Q ... teplo [J]  
S ... plocha [ $m^2$ ]  
S ... relativní součinitel přestupu tepla [m]  
T ... absolutní teplota [K]  
u ... teplota [ $^{\circ}C$ ]  
 $u_f$  ... teplota tání [ $^{\circ}C$ ]  
 $u_g$  ... teplota zeskelnění [ $^{\circ}C$ ]  
 $u_m$  ... teplota měknutí [ $^{\circ}C$ ]  
 $u_p$  ... počáteční rozložení teploty v niti, teplota vzduchu  
v místnosti [ $^{\circ}C$ ]  
 $u_u$  ... určovací teplota [ $^{\circ}C$ ]  
 $u_v$  ... teplota povrchu topného válce [ $^{\circ}C$ ]  
v ... rychlosť výrobního zařízení [ $m \cdot min^{-1}$ ]  
w ... rychlosť proudění tekutiny [ $m \cdot s^{-1}$ ]  
x ... tloušťka proteplovaného materiálu [m]  
 $\Delta x$  ... velikost elementárního úseku tloušťky materiálu x [m]

- $\alpha$  ... součinitel přestupu tepla [ $\text{W}\cdot\text{m}^{-2}\cdot\text{K}^{-1}$ ]  
 $\alpha_t$  ... celkový součinitel přestupu tepla [ $\text{W}\cdot\text{m}^{-2}\text{K}^{-1}$ ]  
 $\alpha_d$  ... součinitel přestupu tepla vedením [ $\text{W}\cdot\text{m}^{-2}\text{K}^{-1}$ ]  
 $\alpha_p$  ... součinitel přestupu tepla prouděním [ $\text{W}\cdot\text{m}^{-2}\text{K}^0$ ]  
 $\alpha_s$  ... součinitel přestupu tepla sáláním [ $\text{W}\cdot\text{m}^{-2}\text{K}^{-1}$ ]  
 $\alpha_v$  ... izobarický součinitel objemové roztažnosti [ $\text{K}^{-1}$ ]  
 $\lambda$  ... součinitel tepelné vodivosti [ $\text{W}\cdot\text{m}^{-1}\cdot\text{K}^{-1}$ ]  
 $\mu$  ... dynamická viskozita [ $\text{N}\cdot\text{s}\cdot\text{m}^{-2}$ ]  
 $\nu$  ... kinematická viskozita [ $\text{m}^2\cdot\text{s}^{-1}$ ]  
 $\rho$  ... měrná hmotnost [ $\text{kg}\cdot\text{m}^{-3}$ ]  
 $\sigma$  ... napětí [ $\text{N}\cdot\text{m}^{-2}$ ]  
 $\tau$  ... čas [s]

## 2. Úvod

Z tribuny 16. sjezdu naší strany zaznělo velmi potřebně a aktuálně vyvíjet a rychle zavádět ve všech odvětvích národního hospodářství do provozních podmínek nové technologie s nižší energetickou náročností a s vyšší produkcí. Je zapotřebí vyrábět výrobky lepší kvality, které budou schopny konkurenčně se více prosazovat na nesocialistických trzích. V dovozu technologických celků se více zaměřit na možnosti dodávek ze zemí RVHP. Růst cen surovin na světových trzích nás všechny nutí k efektivnějšímu využívání druhotných surovin a dříjnějšímu řízení jejich zhodnocování.

V posledních letech se velmi úspěšně rozvíjí spolupráce katedry netkaných textilií a katedry tepelné techniky liberecké VŠST. Přesvědčit se o tom můžeme pohledem do jednoho z provozů n.p. RETEX Ivančice v Liberci. Zde již rok pracuje linka na výrobu termoplasticky pojené netkané textilie, která slouží jako nosná vrstva tolik pro naše národní hospodářství potřebných bituminových izolačních lepenek.

Tato i ostatní technologie výroby pojených textilií se vyznačuje poměrně jednoduchou konstrukcí vlastního výrobního zařízení a s ohledem na obsluhu je nenáročná. Jednoduchá obsluha, bezporuchový provoz se odrážejí v možnostech případného vývozu výrobních linek nejen do vyepálych kapitalistických zemí, ale hlavně také do zemí rozvojových.

Jednou z těchto technologií je i výroba pojených textilií z několika soustav nití. Jsem členem Socialistického svazu mládeže a zároveň jako budoucí pracovník v oblasti netkaných textilií, jsem hrdý, že mi bylo katedrou netkaných textilií VŠST v Liberci umožněno ve své diplomové práci řešit problém,

který je rozhodující pro tvorbu pojednání textilie touto technologií.

Při řešení diplomového tématu jsem si plně uvědomoval, že výsledek mé práce může značně přiblížit období, kdy bude zavedena tato technologie v některém našem textilním národním podniku.

### 3. Princip výroby pojene textilie ze soustav nití

---

Na obrázku č. 1 je schéma technologického zařízení na výrobu pojene textilie ze soustav nití. Autem vynalezu předpokládají použití na výrobním zařízení alespoň dvou soustav nití, kterými mohou být monofil, hedvábí, příze nebo řezané pásky z polymerních folií, z nichž alespoň jedna soustava nití je schopna přejít vlivem tepla nebo vlivem bobtnadla do viskozně tekutého stavu nebo adhezního stavu /5/.

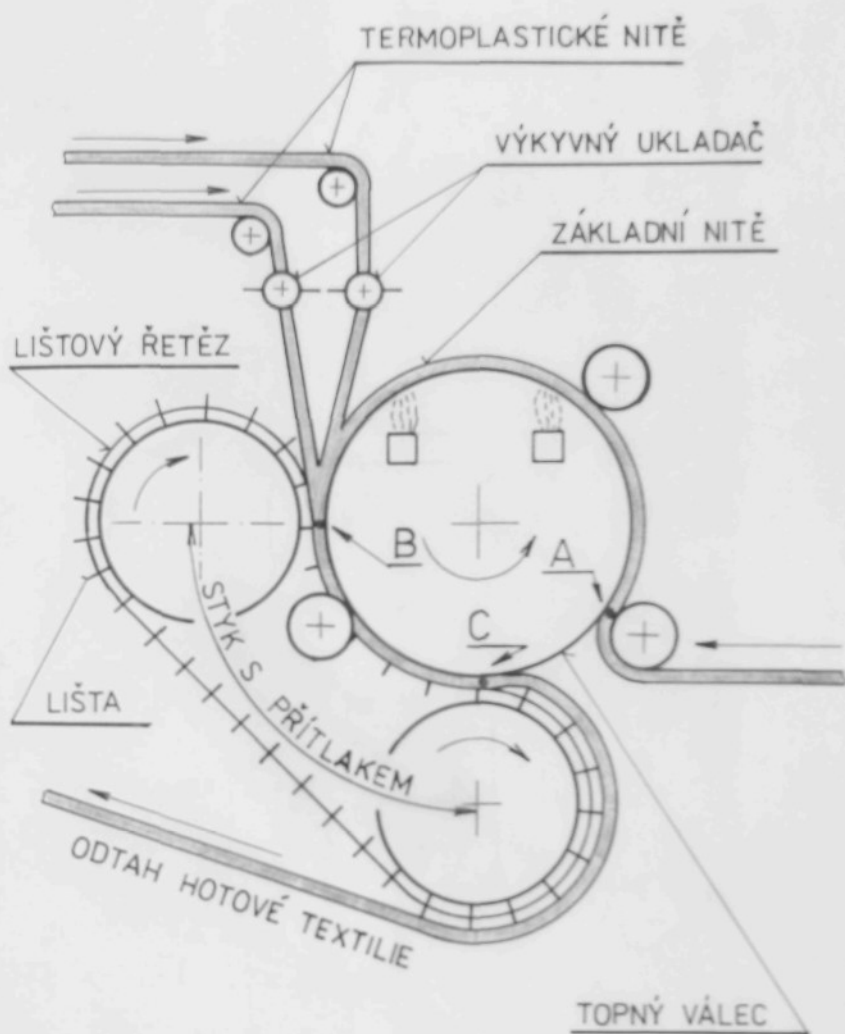
Při vyšetřování podmínek pro natavení termoplastických nití na nitě základní jsem se zaměřil na tvorbu pojene textilie ze tří soustav nití s vědomím, že celý problém lze podle potřeby kdykoliv dále rozšířit stejným postupem na pojene dvou a více než tří soustav nití.

Materiál nití je nutné vybírat takovým způsobem, aby byla teplota tání základních nití vždy minimálně o 30 [°C] větší než u nití termoplastických. Termoplastickými nitěmi mohou být:

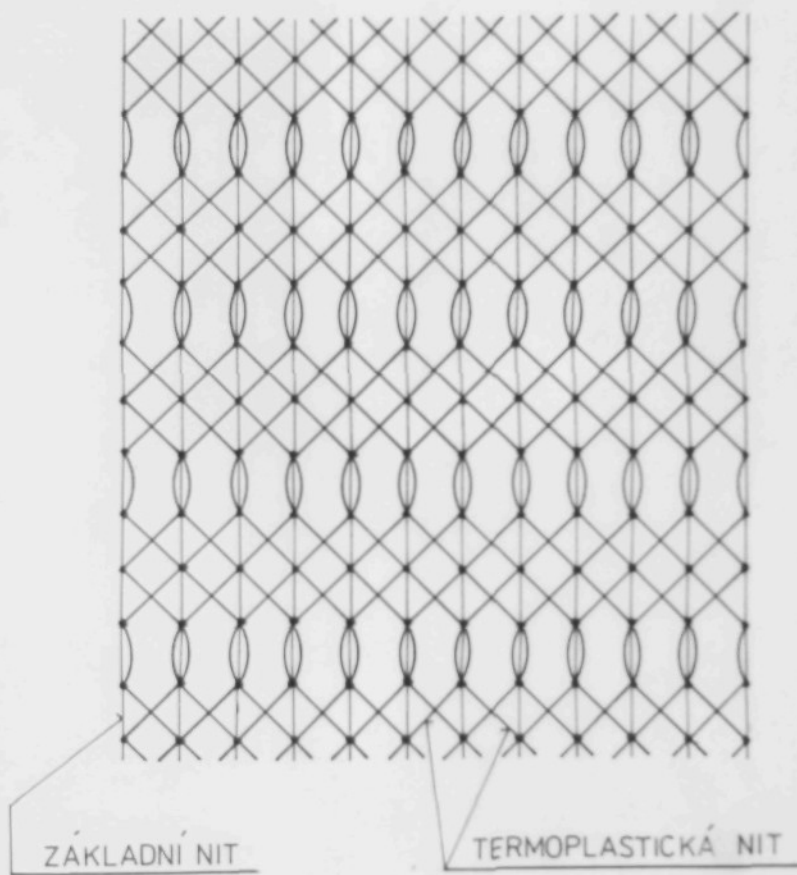
- a/ nitě pouze z termoplastického materiálu,
- b/ nitě skané, vzniklé seskáním termoplastické nitě s nití základní tak, aby základní nit byla obtáčena nití termoplastickou.

V našem případě je uvažováno, že termoplastické nitě jsou pouze z termoplastického materiálu.

Vlastní tvorba pojene textilie ze soustav nití probíhá tak, že na základní nitě, předeřívané na zařízení mezi body A a B ( obr. č. 1 ), jsou ukládány v místě B pomocí výkyvného zařízení dvě soustavy termoplastických nití. Uchycení výkyvného ukládání termoplastických nití na nitě základní se děje s pomocí



OBRÁZEK č.1  
SCHÉMA TECNIOLOGICKÉHO ZARIŽENÍ



OBRÁZEK č.2

STRUKTURA POJENÉ TEXTILIE ZE SOUTAV NITÍ [5]

lišť lištového řetězu. Každá lišta zajišťuje svým přitlakem v místě překřížení po proteplení soustav nití vznik pevného spoje. Návod nití do výkyvného zařízení může být podle potřeby různě hustý.

Struktura vytvořené pojene textilie ze soustav nití je znázorněna na obr. č. 2.

#### 4. Tepelné vlastnosti vlákenných materiálů vhodných pro výrobu

##### pojene textilie ze soustav nití

Úspěšné sledování tepelného procesu v průběhu proteplování základních a termoplastických nití si žádá seznámit se s tepelnými vlastnostmi vlákenných textilních materiálů, vhodných pro naši technologii. Obecně mezi významné tepelné vlastnosti patří:

- a) tepelná vodivost
- b) měrné teplo
- c) teplota zeskelnění
- d) teplota měknutí
- e) teplota tání

##### 4.1. Tepelná vodivost a měrné teplo

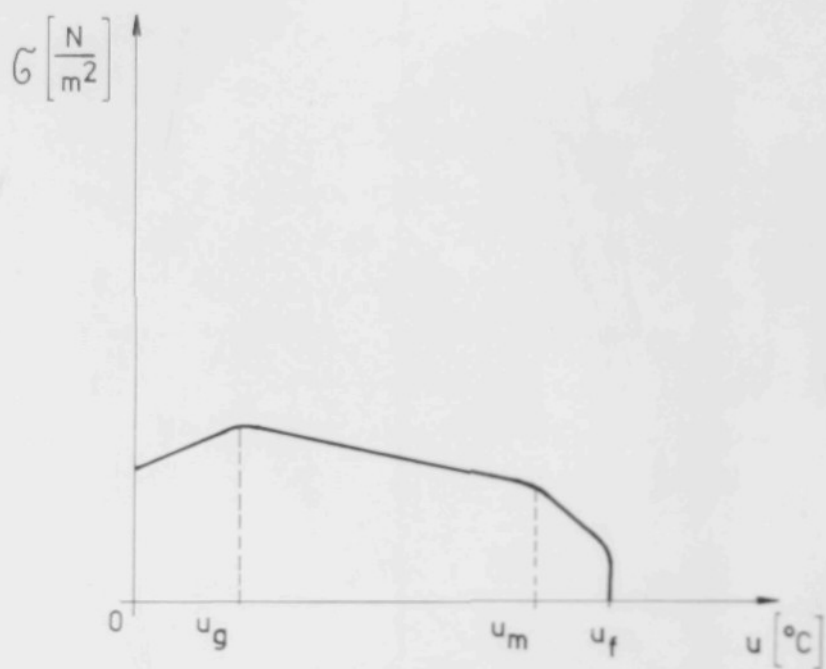
Tepelná vodivost  $\lambda [W \cdot m^{-1} \cdot K^{-1}]$  se definuje jako množství tepla  $Q[J]$ , které pročeď kvádrem o ploše podstavy  $s \cdot 1 [m^2]$  a výšce tloušťce materiálu  $x = 1[m]$  za dobu  $T=1s$ , jestliže na povrchu na obou stranách proteplovaného materiálu je rozdíl teplot  $\Delta T=1K$ . Měrné teplo  $c [J \cdot kg^{-1} \cdot K^{-1}]$  je určeno množstvím tepla  $Q[J]$ , které se musí dodat materiálu o hmotnosti  $m = 1\text{ kg}$ , aby se ohřál o tepelný rozdíl  $\Delta T=1K$ . [2]

Tepelná vodivost je fyzikální konstantou látky. Součinitel je závislý na teplotě, u plynů a kapalin také na tlaku. Vedení tepla látkou je ovlivněno silou vazeb mezi molekulami a atomy. Mimořádný vliv na vedení tepla má i malý obsah nečistot v látce. Tepelná vodivost je závislá na teplotě v té míře, jak se s teplotou mění měrné teplo látky.

Se vzrůstající teplotou dochází u krystalických polymerů k tání krystalitů a v polymerech vzrůstá amorfní podíl. Hodnota měrného tepla dosahuje maximální velikosti při teplotě, kdy látka pozbyla krystalického charakteru. V oblasti této teploty dosahuje i hodnota koeficientu tepelné vodivosti maximální hodnoty. Jelikož tepelná vodivost se s teplotou mění, byla při výpočtech používána průměrná hodnota koeficientů tepelné vodivosti /3/. Velikost průměrného koeficientu pro některé textilní materiály je uvedena v tabulce č. 1 .

#### 4.2. Teplota zeskelnění.

[1] Teplota zeskelnění  $U_g$  je teplota, při jejímž překročení přestávají působit v makromolekulárních látkách slabé a slabší síly mezi molekulami. Důsledek zvětšené pohyblivosti makromolekulárních řetězců se projevuje v daleko snadším dložením vláken. Při teplotě  $U_g$  nedochází u polymerů k uvolňování ani k pohlcování tepla. Krystalizace polymerů probíhá pouze při vyšších teplotách, než je teplota zeskelnění. Teplota  $U_g$  se projevuje zlomem, například na křivce závislosti napětí v niti na teplotě nitě (obr. č. 3). Průběh křivky zaznamenává i další zlomy, které odpovídají oblastem teploty měknutí  $U_m$  a teploty tání  $U_f$ . Teploty zeskelnění některých textilních materiálů jsou uvedeny v tabulce č. 1 .



OBRÁZEK 8.3

SCHÉMA ZÁVISLOSTI NAPĚtí V NITI NA TEPLITĚ NITĚ

TABULKA č. 1

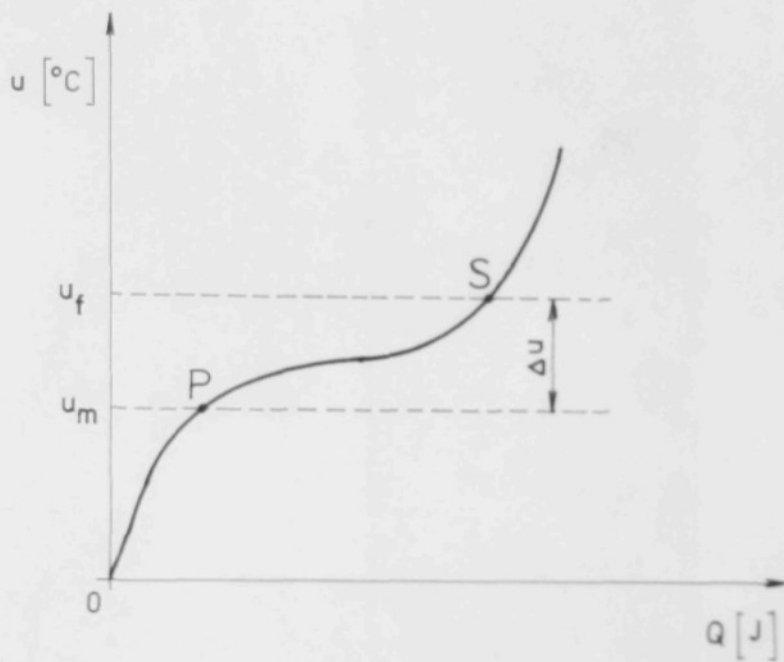
HODNOTY TEPLOTY ZESKELNĚNÍ, MĚKNUTÍ, TÁNÍ A PRŮMĚRNÉ HODNOTY  
TEPELNÉ VODIVOSTI NĚKTERÝCH TEXTILNÍCH MATERIÁLŮ. [1],[3]

Materiál	teplota zeskelnění $u_g$ [°C]	teplota měknutí $u_m$ [°C]	teplota tání $u_f$ [°C]	tepelná vodivost $\lambda$ [W·m <sup>-4</sup> ·K <sup>-1</sup> ]
AC	180	205 - 235	255 - 260	0,17 - 0,35
PAD 6	41	170 - 190	212 - 225	0,29
PAD 6.6	47	220 - 245	250 - 260	0,23
PES	80	230 - 280	250 - 258	0,17
POP	-20	150 - 155	163 - 175	0,21
POE vys.t.	45	85 - 110	115	0,29
POE níz.t.	45	120 - 130	135	0,35
PVC - Cl	83	70 - 130	160 - 185	0,17
sklo		815	1300	0,81

#### 4.3. Teplota tání a teplota měknutí.

Při sledování závislosti teploty nitě na množství předaného tepla niti, lze získat křivku (obr. č. 4), která má ve svém průběhu dva význačné body P a S. Bod P odpovídá na ose závisle proměnné teplotě měknutí  $u_m$ . Obdobně bod S odpovídá na ose závisle proměnné teplotě tání  $u_f$ , makromolekulární látky.

Po zahřátí polymeru na teplotu měknutí začíná docházet ve struktuře proteplovaného materiálu k tání krystalitů. Krystalická mřížka se však ještě nerozpadá. V oblasti mezi body P a S dochází dále k tání krystalitů. Příčné vazby mezi molekulami se začínají stále více porušovat. Krystalická mřížka se rozpadá. Po zahřátí polymeru na teplotu tání dochází



OBRÁZEK 8.4

ZÁVISLOST TEPLOTY NITĚ NA MNOŽSTVÍ PŘEDANÉHO  
TEPLA NITI

v proteplovaném materiálu k rozpadu krystalické mřížky. Látka přešla do stavu taveniny.

Velký teplotní rozdíl  $\Delta U$  je u vysoce krystalické makromolekulární látky. Vyšší nebo nižší teplota tání polymeru je závislá na velikosti polymeračního stupně látky. Vyšší teplota tání polymeru odpovídá nižšímu polymeračnímu stupni. Teploty tání a měknutí některých textilních materiálů jsou uvedeny v tabulce č. 1.

### 5. Proces proteplování vlákkenné vratvy.

---

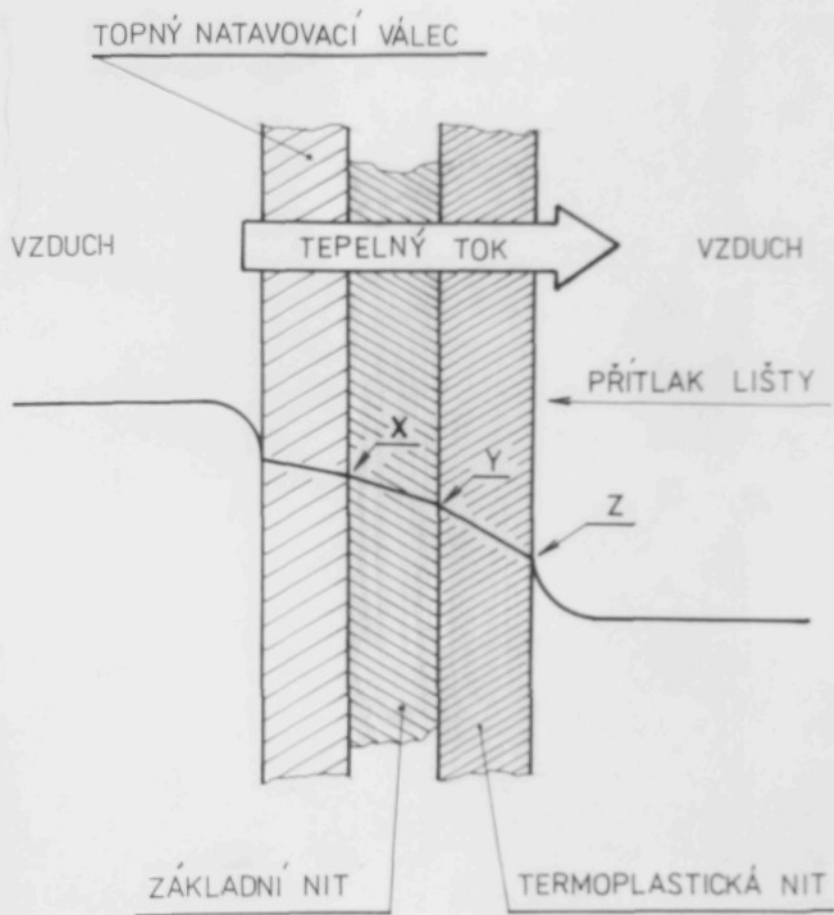
K bodovému propojení soustav nití musí dojít dle obr. č. 1 mezi body B a C. Lišty lištového řetězu v této oblasti:

- a) udržují výkyvné rozvádění termoplastických nití na nitích základních a tím zajišťují pravidelnou strukturu nově vzniklé pojene textilie,
- b) přitlačují soustavy nití na sebe a k topnému natavovacímu válci a tak pomáhají při vytváření pevných spojů mezi nitěmi.

Pro vznik pevných spojů v místech překřížení termoplastických a základních nití je zapotřebí určité doby tepelného působení na nitě. Nazveme tuto dobu dobou celkovou  $T_c$  a považujme zjištění její velikosti za rozhodující pro tvorbu pojene textilie ze soustav nití. Celková doba  $T_c$  v sobě obsahuje, dle obrázku č. 5 a obrázku č. 6, časový úsek:

$T_p$  ... doba, za kterou je po začátku proteplování nití v místě Y termoplastické nitě teplota měknutí a začíná se vytvářet pevný spoj

$T_m$  ... doba, za kterou je po začátku proteplování nití



OBRÁZEK 6.6

MÍSTA S ROZHODUJÍCÍ TEPLITOU PRO PROTEPLOVÁNÍ NITÍ

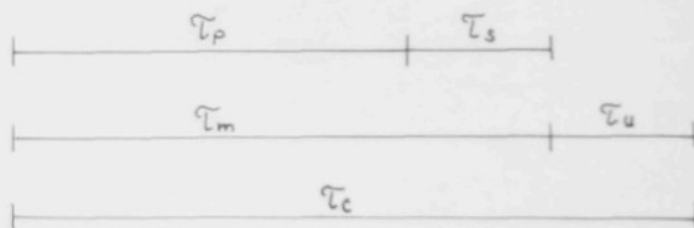
v místě Z termoplastické nitě teplota měknutí a dokončuje se tvorba pevného spoje

$\tau_g$  ... doba vytváření pevného spoje mezi termoplastickou a základní nití

$\tau_u$  ... doba, o kterou se prodlouží časový úsek  $\tau_m$  vlivem chladícího účinku hrotu lišťového řetězu.

Velikost celkové doby  $\tau_t$  je závislá na:

- a) teplotě povrchu topného natavovacího válce
- b) tepelných vlastnostech proteplovaných nití
- c) tloušťce (jemnosti) proteplovaných nití
- d) chladicím účinku hrotů lišťového řetězu.



OBRÁZEK č. 5

#### ČASOVÉ ÚSEKY OBSAŽENÉ V CELKOVÉ DOBĚ

##### 5.1. Stanovení doby $\tau_m$ Schmidteovou grafickou metodou

---

konečných rozdílů.

---

Stykem soustav nití a vyhřátým povrchem topného natavovacího válce dochází mezi válcem a soustavami nití ke sdílení tepla současně třemi způsoby: vedením, prouděním a sáláním. Protože se při proteplování mění teplota nití současně s časem, je námi sledovaný děj nestacionární a lze jej popsat

obecnou rovnicí nestacionárního vedení tepla:

$$\frac{\partial u}{\partial \tau} = \alpha \cdot \frac{\partial^2 u}{\partial x^2} = \frac{\lambda}{c \cdot \rho} \cdot \frac{\partial^2 u}{\partial x^2} \quad (1)$$

kde

$\alpha$  ... součinitel tepelné vodivosti

$u = u(x; \tau)$  ... teplota

$\tau$  ... čas

$x$  ... tloušťka proteplovaného materiálu

$\lambda$  ... tepelná vodivost

$c$  ... specifické teplo

$\rho$  ... měrná hmotnost

Řešení nestacionárního vedení tepla je matematicky dosti obtížné. V praxi se dává raději přednost diferenčním metodám například Schmidtovy grafické metodě konečných rozdílů, jejíž přesnost je pro technickou praxi zcela dostatečná. [7]

V rovnici (1) nahradíme parciální derivace diferencemi

$$\frac{\Delta u}{\Delta \tau} = \alpha \cdot \frac{\Delta^2 u}{\Delta x^2} \quad (2)$$

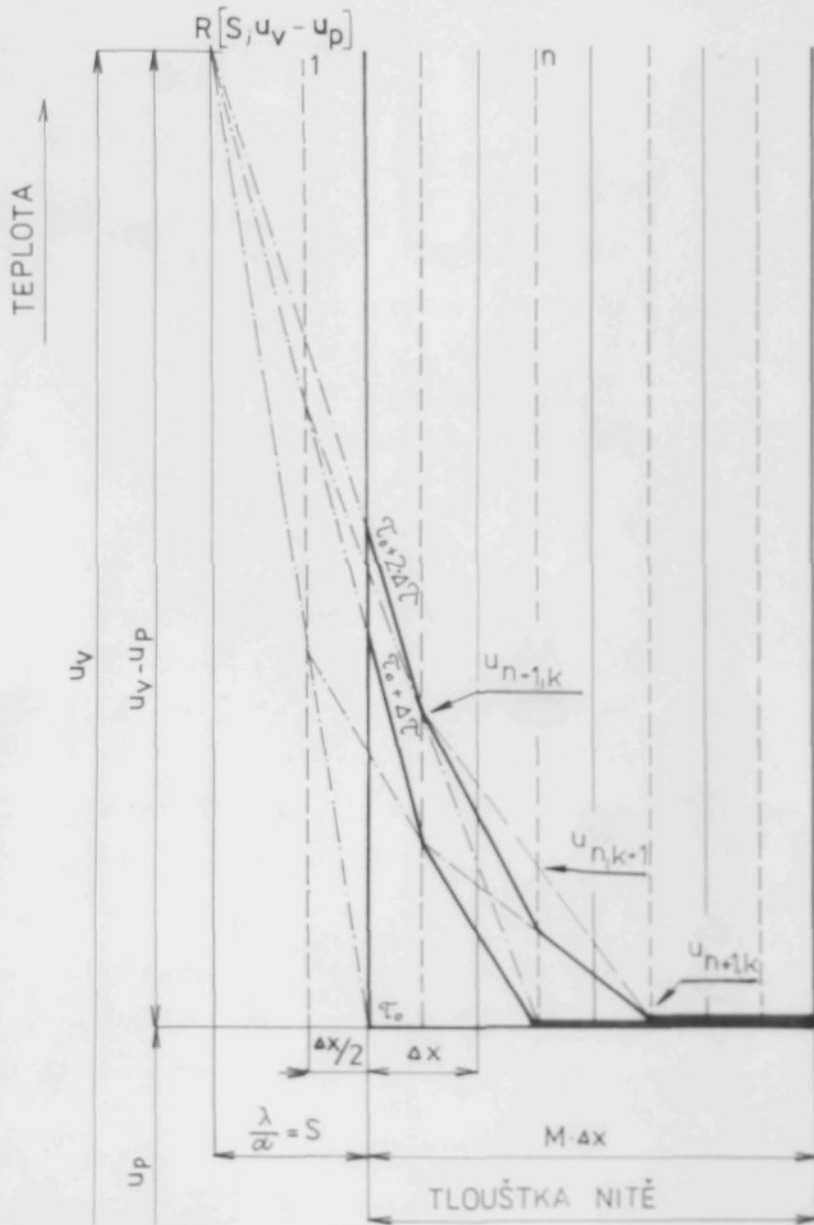
Označíme-li pomocí  $u_{n,k}$  teplotu na n-té vertikále v čase  $(\tau_0 + k \Delta \tau)$ , lze s vyjádřením jednotlivých diferenčních poměrů rovnice (2) po úpravách obdržet vztah (obr. č. 7) :

$$u_{n,k+1} = u_{n,k} + \frac{\alpha \cdot \Delta \tau}{\Delta x^2} (u_{n+1,k} - 2u_{n,k} + u_{n-1,k}) \quad (3)$$

Pro praktické použití metody je účelné zvolit hodnoty  $\Delta \tau$  a  $\Delta x$  tak, aby byla splněna podmínka:

$$\alpha \cdot \frac{\Delta \tau}{\Delta x^2} = \frac{1}{2} \quad (4)$$

Dodržením podmínky (4) získáme základní předpis pro Schmidtovu



OBRÁZEK č. 7

GRAFICKÁ KONSTRUKCE PRŮBĚHU TEPLOT PŘI NESTACIONÁRNÍM VEDENÍ TEPLA.

grafickou metodu konečných rozdílů:

$$u_{n,k+1} = \frac{1}{2} (u_{n+1,k} + u_{n-1,k}) \quad (5)$$

Na obrázku č. 7 je znázorněna grafická konstrukce průběhu teplot při nestacionárním vedení tepla. Symboly použité k popisu obrázku značí:

M ... počet úseků  $\Delta x$ , ve kterých sledujeme průběhy teplot

$\Delta x$  ... díl troušky materiálu (nitě)

S ... relativní součinitel přestupu tepla

$\lambda$  ... tepelná vodivost

$\alpha$  ... součinitel přestupu tepla

$u_v$  ... teplota povrchu topného natavovacího válce

$u_p$  ... počáteční rozložení teploty v niti (teplota místnosti)

Schmidtova grafická metoda konečných rozdílů umožňuje sledovat nárůst teploty v čase pro jednotlivé úseky  $\Delta x$  trouštky nitě. Konstrukce všech teplotních křivek v čase vychází ze společného bodu R, který se nazývá řídícím bodem. Vzdálenost řídícího bodu od povrchu materiálu je dána velikostí relativního součinitele přestupu tepla

$$S = \frac{\lambda}{\alpha} \quad (6)$$

Vzdálenost řídícího bodu R od přímky počátečního rozložení teplot je určena rozdílem teploty povrchu topného natavovacího válce  $u_v$  a počátečního rozložení teploty v niti  $u_p$ .

V roce 1980 byl na požádání katedry netkaných textilií na katedře technické kybernetiky vypracován program „CHREV“,

který řeší nestacionární ohřev různých materiálů právě  
Schmidtovou grafickou metodou konečných rozdílů na počítači  
RPP - 16 S. [6]

Program „ OHREV „ má pro nás velký význam při sledování  
nárůstu teploty v čase při zahřívání tenkých materiálů (nitě),  
kde konstrukce křivek průběhu teploty není ručním způsobem prove-  
ditelná.

#### 5.1.1. Podmínky pro praktické použití Schmidtovy grafické metody konečných rozdílů.

[7] Použití pro sledování nárůstu teploty v čase rovnice (5)  
si žádá splnění tzv. povrchové pomínky. Tato vyjadřuje vliv  
obklopujícího prostředí na povrch proteplovaného materiálu  
(nitě) a má tvar:

$$\frac{\Delta u}{0,5 \cdot \Delta x} = \frac{u_v - u_p}{\frac{\lambda}{\alpha}} = \frac{u_v - u_p}{S} \quad (7)$$

kde

$S$  ... relativní součinitel přestupu tepla

$\lambda$  ... tepelná vodivost

$\alpha$  ... součinitel přestupu tepla

$u_p$  ... počáteční rozložení teploty v niti

$u_v$  ... teplota povrchu topného válce

$\Delta x$  ... díl tloušťky materiálu (nitě)

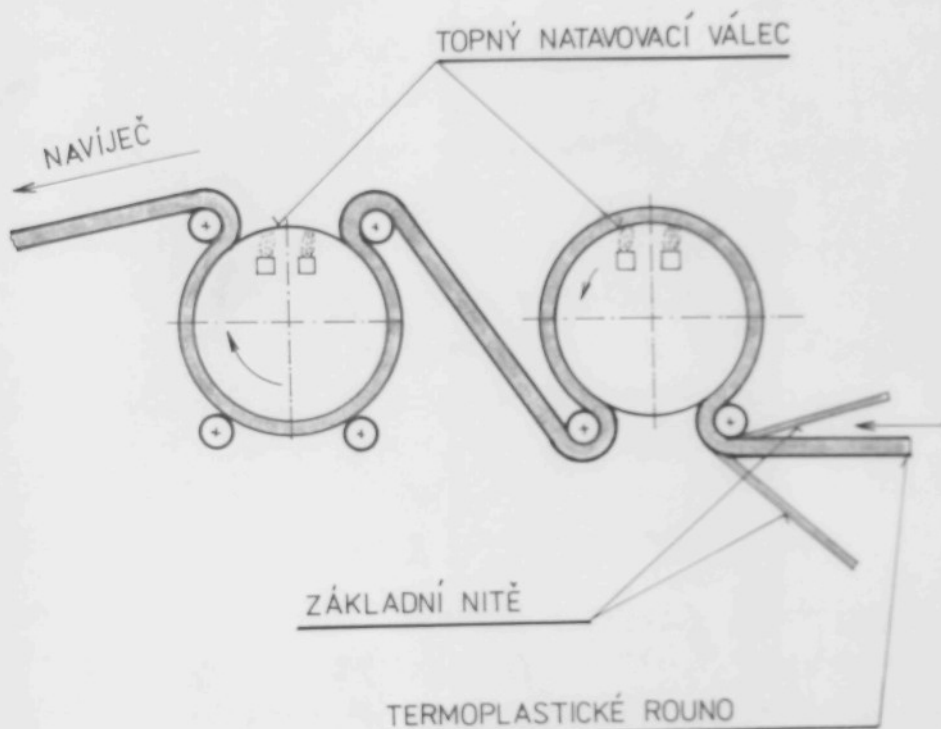
Druhá podmínka se týká volby hodnot  $\Delta T$  a  $\Delta x$  tak, aby byla  
splněna rovnice (4).

5.2. Využití poznatků z výroby pojene textilie v n.p. RETEX  
v závodě v Liberci.

V úvodu mé práce jsem se zmínil o výrobě pojene textilie v n.p. RETEX. Princip výroby pojene textilie (obr. č. 8) má mnoho společného s naším principem výroby pojene textilie ze soustav nití.

- a) Základní soustava nití je společná pro obě technologie.
- b) Místo termoplastické soustavy je použito termoplastické rouno (termoplastickou složku tvoří vlákna z polyamidu 6).
- c) K tvorbě plošné textilie dochází během styku vratvy materiálu s povrchem topného natavovacího válce.
- d) Předpokládaná tloušťka pojene textilie ze soustav nití bude asi o polovinu tenčí než je tomu u pojene textilie v n.p. RETEX.
- e) Ke vzniku pojene textilie v n.p. RETEX je nutné oboustranné prohřívání vratvy materiálu.

Předešlým porovnáním obou technologií se nabízí využít poznatků z výroby pojene textilie v n.p. RETEX při řešení procesu prohřívání soustav nití u naší technologie. Při výrobě pojene textilie v n.p. RETEX se používá jako základních nití nití skleněných a termoplastického rouna. Termoplastickou složkou je zde polyamid 6 (PAD 6). Přijemným zjištěním je, že zmínované dva textilní materiály se předpokládá použít i při výrobě pojene textilie ze soustav nití. Vedle polyamidu 6 (PAD 6) se uvažuje zejména s použitím termoplastické nitě z polypropylenu (POP) a z chlorovaného polyvinylchloridu (PVC - Cl). Tepelný proces proteplování soustav nití bude v mé práci dále sledován pro použití skleněných nití jako nití základních a nití z polyamidu 6 (PAD 6) jako nití termoplastických.



OBRÁZEK č.8

SCHÉMA LINKY NA VÝROBU POJENÉ TEXTILIE V n.p. RETEX

K tvorbě pojené textilie v n.p. RETEX dochází při teplotě povrchu topného natavovacího válce (obr. č. 9)

$$u_v = 270 [^{\circ}\text{C}]$$

Významnou teplotou při sledování procesu proteplování je i teplota  $u_5$ . K vytvoření pevných spojů v místech překřížení nití je třeba, aby teplota  $u_5$  byla rovna teplotě měknutí  $u_m$  termoplastických nití. Znalost teploty  $u_v$  a teploty  $u_5$  umožňuje vypočítat i teplotu  $u_4$ .

Teploto prošlé jednotkou plochy  $S$  za čas  $T = 1[\text{s}]$  základní nití je rovno teplu prošlému za stejných podmínek nití termoplastickou. Lze tedy použít následující rovnost (obr. č. 9) [2]

$$Q = \frac{\lambda_z}{x_z} (u_v - u_4) \cdot S \cdot T = \frac{\lambda_T}{x_T} (u_4 - u_5) \cdot S \cdot T \quad (8)$$

Úpravou vztahu (8) získáme výraz pro výpočet teploty v místě mezi oběma nitěmi

$$u_4 = \frac{x_T \cdot u_v \cdot \lambda_z + x_z \cdot u_5 \cdot \lambda_T}{x_T \cdot \lambda_z + x_z \cdot \lambda_T} \quad (9)$$

kde

$x_T$  .... tloušťka (jemnost) termoplastické nitě

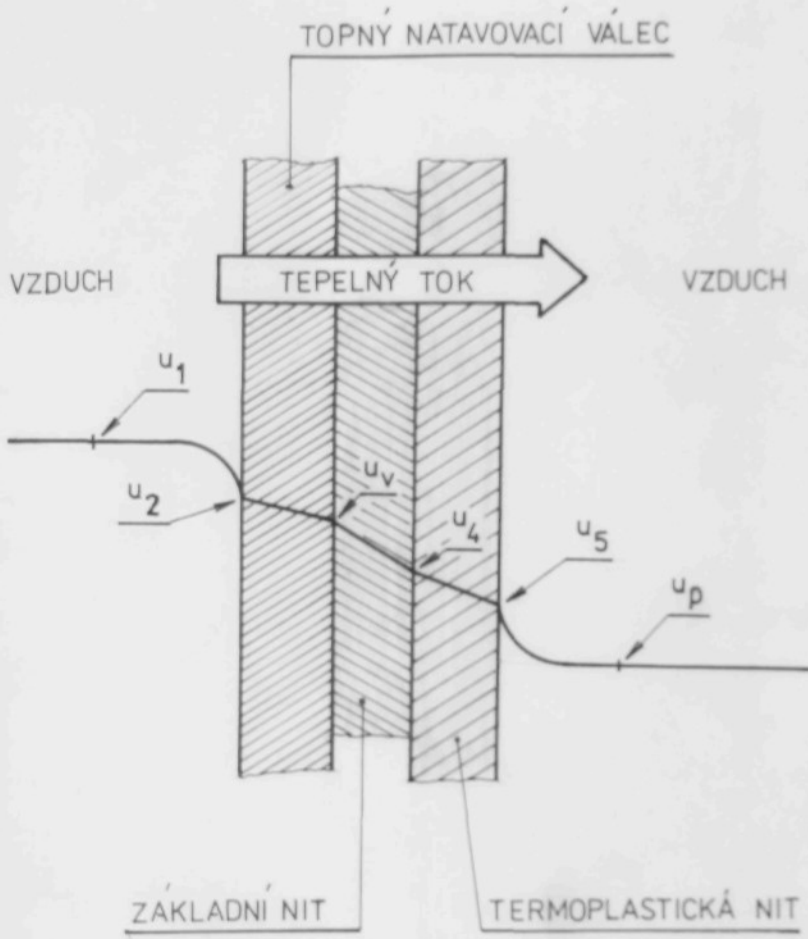
$x_z$  .... tloušťka (jemnost) základní nitě

$\lambda_T$  .... tepelná vodivost termoplastické nitě

$\lambda_z$  .... tepelná vodivost základní nitě

$u$  .... teplota místa rozhodujícího pro proteplování

Pokud by bylo nutné zjistit velikost teploty  $u_2$  topného



OBRÁZEK 8.9

PRŮBĚH TEPLOTY PŘI PROTEPLOVÁNÍ VÍCE SOUSTAV MATERIÁLŮ

natarovacího válce, postupovali býchom zcela stejně jako při výpočtu teploty  $u_4$ .

### 5.3. Stanovení celkového součinitele přestupu tepla.

Součinitel přestupu tepla  $\alpha$  má značný význam pro velikost doby  $T_t$ , a navíc je druhou veličinou po tepelné vodivosti, jehož velikost se s teplotou částečně mění. Tento součinitel přestupu tepla je složitou funkcí mnoha proměnných veličin, které mají vliv na celý proces proteplování nití. [4]

$$\alpha = \alpha (\omega, \rho, \lambda, w, u, \Delta u, \alpha_v, \dots) \quad (10)$$

kde

$\omega$  ... dynamická viskozita

$\rho$  ... měrná hmotnost

$\lambda$  ... tepelná vodivost

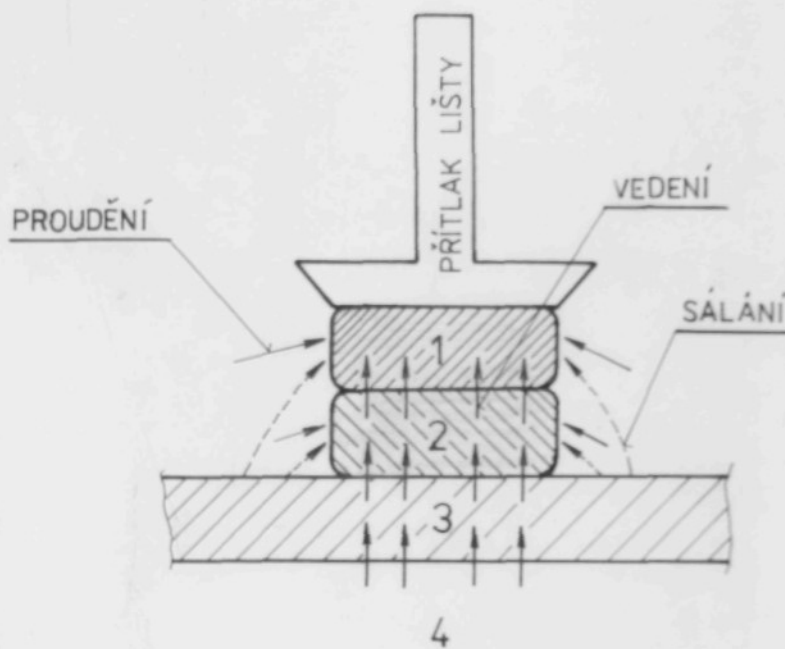
$w$  ... rychlosť tekutiny

$u$  ... teplota

$\Delta u$  ... rozdíl mezi teplotou tekutiny a stěny proteplovaného materiálu

$\alpha_v$  ... izobarický součinitel objemové roztažnosti

Pokud by se na našem modelovém zařízení (obr. č. 1) zaměnily termoplastické a základní nitě za folie ze stejných druhů materiálů, sdílelo by se teplo mezi topným natarovacím válcem a foliemi pouze vedením (kondukcí). Následující případ je o to složitější, že natarovací folia nejsou vedená teplem (kondukcí), ale průtok tepla s povrchu topného natarovacího válce do nití. Proteplování se bude dít (obr. č. 10) nejen vedením tepla (kondukcí), ale



- 1 - TERMOPLASTICKÁ NIT
- 2 - ZÁKLADNÍ NIT
- 3 - TOPNÝ NATAVOVACÍ VÁLEC
- 4 - HORKÉ SPALINY

OBRÁZEK 8.10  
MODEL PROTEPLOVÁNÍ SOUSTAV NITÍ

i prouděním (konvekcí) od zahřátého vzduchu při povrchu topného natavovacího válce ze stran do nití. Svou reli při proteplování má i sálání tepla (radiace) s povrchem topného válce mezi rameni mezi nitěmi.

Hledaný celkový součinitel přestupu tepla  $\alpha_c$  v sobě zahrnuje vliv všech tří způsobů šíření tepla - vedení, proudění, sálání . Pro jeho velikost platí:

$$\alpha_c = \alpha_p + \alpha_d + \alpha_r \quad (11)$$

kde

$\alpha_p$  ... součinitel přestupu tepla při sdílení tepla prouděním

$\alpha_d$  ... součinitel přestupu tepla při sdílení tepla vedením

$\alpha_r$  ... součinitel přestupu tepla při sdílení tepla sáláním

Pro výpočet součinitele přestupu tepla je zvláště výhodné použít teorii podobnosti.

Sledovaný proces proteplování nití je charakteristický tím, že sdílení tepla probíhá asi z

50% vedením (kondukcí)

35% prouděním (konvekcí)

15% sáláním (radiací)

5.3.1. Výpočet součinitele přestupu tepla podle teorie  
podobnosti.

Při výpočtu součinitele přestupu tepla  $\alpha$  budeme vycházet ze vztahu mezi Nusseltovým, Prandtlovým a Grashoffovým bezrozměrným číslem /4/. V prvé části výpočtu je třeba stanovit velikost Grashoffova čísla ze vztahu:

$$Gr = \frac{g \cdot \alpha_v \cdot \Delta u \cdot L^3}{\nu^2} \quad (12)$$

kde

$g$  ... těžové zrychlení

$\alpha_v$  ... izobarický součinitel objemové roztažnosti

$\Delta u$  ... teplotní rozdíl míst důležitých pro sledovaný proces

$L$  ... vnější průměr topného natavovacího válce

$\nu$  ... součinitel vnitřního tření (kinematická viskozita)

Další výpočet je vázán velikostí součinu Grashoffova a Prandtlova podobnostního čísla. V závislosti na velikosti tohoto součinu je možné postupovat čtyřmi způsoby:

1. Pokud  $Gr \cdot Pr > 2 \cdot 10^7$ , počítáme součinitel přestupu tepla  $\alpha$  ze vztahu

$$Nu = 0,135 (Gr \cdot Pr)^{\frac{1}{3}} = \frac{\alpha \cdot L}{\lambda} \quad (13)$$

kde Nu ... Nusseltovo podobnostní číslo

Gr ... Grashoffovo podobnostní číslo

$\text{Pr}$  ... Prandtlova podobnostní číslo

$\alpha$  ... součinitel přestupu tepla

$L$  ... vnější průměr topného natavovacího válce

$\lambda$  ... tepelná vodivost

2. Jestliže  $\text{Gr} \cdot \text{Pr} = 5 \cdot 10^2$  až  $2 \cdot 10^7$ , počítáme součinitel  
přestupu tepla  $\alpha$  ze vztahu

$$\text{Nu} = 0,54 (\text{Gr} \cdot \text{Pr})^{\frac{1}{4}} = \frac{\alpha \cdot L}{\lambda} \quad (14)$$

3. Pro  $\text{Gr} \cdot \text{Pr} = 10^3$  až  $2 \cdot 10^7$ , lze vypočítat součinitel přestupu  
tepla  $\alpha$  ze vztahu

$$\text{Nu} = 1,18 (\text{Gr} \cdot \text{Pr})^{\frac{1}{8}} = \frac{\alpha \cdot L}{\lambda} \quad (15)$$

4. Je-li  $\text{Gr} \cdot \text{Pr} < 10^3$ , vypočítáme součinitel přestupu tepla  $\alpha$   
ze vztahu

$$\alpha' = \frac{05 \cdot \lambda}{L} \quad (16)$$

5.3.2. Obecný pohled na výpočet součinitele přestupu tepla  $\alpha_D$ .

---

Pro sledování procesu tepelného působení na soustavy nití  
je důležité:

- a) Ohřívání základních nití probíhá na dvakrát větší  
části obvodu topného natavovacího válce.

- b) Tepelná vodivost základních nití (uvažujeme použit skleněné nitě) je asi 3,2 krát větší než u nití termoplastických (polyamid 6).

Z předešlého textu je zřejmé, že základní nitě budou v místě X (obr. č. 6) vždy zahřátý na teplotu povrchu topného natavovacího válce dřív, než vejdou do styku s termoplastickými nitěmi. Toto vše platí i v případě, že tepelná vodivost základních nití se bude přibližně rovnat tepelné vodivosti nití termoplastických. Zjišťujeme nyní, že veškeré úsilí je třeba zaměřit na zjištění celkové doby  $T_c$  potřebné k ohřátí termoplastické nitě na teplotu měknutí.

Při výrobě pojené textilie ze soustav nití jsou termoplastické nitě výkyvně ukálány na již zahřáté nitě základní. V místě překřížení nití protéká ze zahřáté základní nitě teplo do nitě termoplastické. Při výpočtu součinitele přestupu tepla  $\alpha_p$  se nám naskytá možnost převést sdílení tepla vedením ze základní nitě do nitě termoplastické na ohřívání termoplastické nitě vzduchem o tepelné vodivosti materiálu základní nitě. Ostatní fyzikální vlastnosti výpočtového vzduchu je třeba nalézt v tabulkách pro určovací teplotu

$$U_U = \frac{U_V + U_A}{2} \quad (17)$$

Tato záměna nemá vliv na proteplování termoplastické nitě. Při výpočtu součinitele přestupu tepla  $\alpha_p$  máme možnost tak využít teorie podobnosti.

5.3.2.1. Praktický výpočet součinitele přestupu tepla  $\alpha_D$   
při proteplování termoplastických nití.

a) Výpočet velikosti teploty  $u_4$  ze vztahu (9) pro hodnoty:

$$x_T = 0,2 \cdot 10^{-3} [\text{m}]$$

$$x_z = 0,2 \cdot 10^{-3} [\text{m}]$$

$$u_v = 270 [^\circ\text{C}]$$

$$u_s = 190 [^\circ\text{C}]$$

$$\lambda_T = 0,29 [\text{W} \cdot \text{m}^{-1} \cdot \text{K}^{-1}]$$

$$\lambda_z = 0,81 [\text{W} \cdot \text{m}^{-1} \cdot \text{K}^{-1}]$$

$$u_4 = \frac{x_T \cdot u_v \cdot \lambda_z + x_z \cdot u_s \cdot \lambda_T}{x_T \cdot \lambda_z + x_z \cdot \lambda_T}$$

$$u_4 = \frac{0,2 \cdot 10^{-3} \cdot 270 \cdot 0,81 + 0,2 \cdot 10^{-3} \cdot 190 \cdot 0,29}{0,2 \cdot 10^{-3} \cdot 0,81 + 0,2 \cdot 10^{-3} \cdot 0,29}$$

$$u_4 = 248,9 [^\circ\text{C}]$$

b) Výpočet určovací teploty  $u_U$  ze vztahu (17) pro hodnoty:

$$u_v = 270 [^\circ\text{C}]$$

$$u_4 = 248,9 [^\circ\text{C}]$$

$$u_U = \frac{u_v + u_4}{2} = \frac{270 + 248,9}{2} = 259,45 [^\circ\text{C}]$$

c) Výpočet Grashoffova podobnostního čísla ze vztahu (12)

a součinitele přestupu tepla  $\alpha_D$  z hodnot:

$$g = 9,81 [\text{m} \cdot \text{s}^{-2}]$$

$$\alpha_v = 3,0 \cdot 10^3 [\text{K}^{-1}]$$

$$\Delta u = u_3 - u_4 = 21,1 [^{\circ}\text{C}]$$

$$Pr = 0,68$$

$$\gamma = 41,17 \cdot 10^{-6} [\text{m}^2 \cdot \text{s}^{-1}]$$

$$\lambda = 0,81 [\text{W} \cdot \text{m}^{-1} \cdot \text{K}^{-1}]$$

$$L = 0,3 [\text{m}]$$

$$Gr = \frac{g \cdot \alpha_v \cdot \Delta u \cdot L^3}{\gamma^2} = \frac{9,81 \cdot 3,0 \cdot 10^{-3} \cdot 21,1 \cdot 0,3^3}{(41,17 \cdot 10^{-6})^2}$$

$$Gr \approx 12,094 \cdot 10^6$$

Jelikož platí,

$$Gr \cdot Pr = 12,094 \cdot 10^6 \cdot 0,68 = 8,224 \cdot 10^6$$

a tato hodnota leží v oblasti mezi  $5 \cdot 10^2$  až  $2 \cdot 10^7$ , budeme počítat součinitele přestupu tepla podle vztahu (14).

$$Nu = 0,54 (Gr \cdot Pr)^{\frac{1}{4}} = \frac{\alpha \cdot L}{\lambda}$$

$$\alpha_p = 0,54 (Gr \cdot Pr)^{\frac{1}{4}} \frac{\lambda}{L} = 0,54 (8,224 \cdot 10^6)^{\frac{1}{4}} \cdot \frac{0,81}{0,3}$$

$$\alpha_p = 78,04 [\text{W} \cdot \text{m}^{-2} \cdot \text{K}^{-1}]$$

### 5.3.3. Praktický výpočet součinitele přestupu tepla $\alpha_p$ při proteplování termoplastických nití.

Vzduch mezi nitěmi při povrchu topněho natavovacího válce se ohřívá a ohřátý zahřívá z boku proteplovanou nití (obr. č. 10). Úkolem je stanovit součinitele přestupu tepla  $\alpha_p$ , který udává podmínky pro přechod tepla ze vzduchu do ohřívané nitě.

Velikost součinitele přestupu tepla  $\alpha_p$  bude přibližně

stejná jako součinitele přestupu tepla z povrchu topného nata-vovacího válce o teplotě povrchu  $u_v = 270 [^{\circ}\text{C}]$  do okolního vzduchu o teplotě  $u_p = 20 [^{\circ}\text{C}]$ .

a) Výpočet určovací teploty  $u_U$  pro hodnoty

$$u_v = 270 [^{\circ}\text{C}]$$

$$u_p = 20 [^{\circ}\text{C}]$$

$$u_U = \frac{u_v + u_p}{2} = \frac{270 + 20}{2} = 145 [^{\circ}\text{C}]$$

b) Výpočet Grashoffova podobnostního čísla ze vztahu (12)

a součiniteli přestupu tepla  $\alpha_p$  z hodnot:

$$g = 9,81 [\text{m} \cdot \text{s}^{-2}]$$

$$\alpha_v = 3,0 \cdot 10^{-3} [\text{K}^{-1}]$$

$$\Delta u = u_v - u_p = 250 [^{\circ}\text{C}]$$

$$\Pr = 0,694$$

$$\gamma = 27,55 \cdot 10^{-6} [\text{m}^2 \cdot \text{s}^{-4}]$$

$$\lambda = 0,0343 [\text{W} \cdot \text{m}^2 \cdot \text{K}^{-1}]$$

$$L = 0,3 [\text{m}]$$

$$Gr = \frac{g \cdot \alpha_v \cdot \Delta u \cdot L^3}{\gamma^2} = \frac{9,81 \cdot 3,0 \cdot 10^{-3} \cdot 250 \cdot 0,3^3}{(27,55 \cdot 10^{-6})^2} = 3,18 \cdot 10^8$$

Jelikož platí,

$$Gr \cdot \Pr = 3,18 \cdot 10^8 \cdot 0,694 = 2,2164 \cdot 10^8$$

a tato hodnota leží v oblasti nad  $2 \cdot 10^7$ , vypočteme součinitel přestupu tepla ze vztahu (13)

$$Nu = 0,135 (Gr \cdot \Pr)^{\frac{4}{3}} \cdot \frac{\alpha \cdot L}{\lambda}$$

$$\alpha_p = 0,135 \left( Gr \cdot Pr \right)^{\frac{1}{3}} \cdot \frac{\lambda}{L}$$

$$\alpha_p = 0,135 \left( 2,2164 \cdot 10^8 \right)^{\frac{1}{3}} \cdot \frac{0,0343}{0,3}$$

$$\alpha_p = 9,42 \left[ W \cdot m^{-2} K^{-1} \right]$$

5.4. Výpočet celkového součinitele přestupu tepla  $\alpha_c$  pro  
proteplování termoplastických nití.

Při proteplování termoplastické nitě bylo zjištěno, že

$$\alpha_D = 78,04 \left[ W \cdot m^{-2} K^{-1} \right]$$

$$\alpha_p = 9,42 \left[ W \cdot m^{-2} K^{-1} \right]$$

Pro výpočet celkového součinitele přestupu tepla  $\alpha_c$  platí vztah (11). V tomto vztahu je obsažen i součinitel přestupu tepla  $\alpha_R$ . Sdílení tepla radiací se projevuje při proteplování nití nejmenším účinkem.

Domnívám se, že neudělám příliš velkou chybu, jestliže budu předpokládat, že součet všech tří složek sdílení tepla - celkový součinitel přestupu tepla

$$\underline{\underline{\alpha_c \doteq 100 \left[ W \cdot m^{-2} K^{-1} \right]}}$$

## 6. Vliv chladícího účinku hrotů lišt lišťového řetězu

při proteplování nití.

Při řešení proteplování základních a termoplastických nití je třeba uvážit i vliv ochlazování nitě hrotem lišty lišťového řetězu .Vliv chladícího účinku lišty je důležité brát v úvahu, neboť ochlazování termoplastické nitě může dosti značně prodloužit dobu nutnou na zahřátí termoplastické nitě na teplotu měknutí. Řešení tohoto problému je podle mne možné třemi způsoby:

- a) potefflonováním hrotů lišt a tak vytvořením izolující vrstvičky mezi hroty lišt a termoplastickými nitěmi,
- b) zahříváním lišt tepelným zářičem před vstupem lišt ve styk s topným nastavovacím válcem a soustavami nití,
- c) zahříváním lišt plynovými hořáky před jejich vstupem ve styk s topným nastavovacím válcem a soustavami nití,
- d) kombinací předešlých způsobů.

Při řešení proteplování základních a termoplastických nití předpokládám, že vliv ochlazování nitě hrotu lišty lišťového řetězu bude potlačen.

## 7. Tabulky s výsledky teoretického řešení proteplování soustav nití a zhodnocení dosažených výsledků.

Pro obsluhu výrobního zařízení by bylo výhodné nalézt tabelárně sestavené závislosti výrobní rychlosti zařízení (doby styku  $T_c$ ) na druhu a tloušťce nitě a teplotě povrchu topného nata-  
vovacího válce. Mým úkolem bylo tyto tabulky vytvořit. K výrobě  
pojené textilie ze soustav nití se předpokládá použít termo-  
plastických nití zejména z polyamidu 6 (PAD 6), polypropylénu  
(POP) nebo chlorovaného polyvinylchloridu (PVC - Cl). Na tyto  
tři termoplastické materiály jsem se zaměřil při sledování pro-  
teplování nití.

Řešení nestacionárního vedení tepla programem „CHREV“ umožňuje stanovit hodnoty teplot v závislosti na čase a vzdálenosti od povrchu ohřívaného materiálu (nitě). Nárdst teploty v nití byl sledován 11[S] po dotyku nitě s povrchem topného nata-  
vovacího válce. Ze získaných výsledků je možné odečíst potřebnou celkovou dobu  $T_c$  (zanedbáme-li chladící vliv hrotu lišt, pak  $T_c = T_m$ ) k proteplení termoplastických nití na teplotu měknutí. Jelikož známe délku opásání topného natavovacího válce lištovým řetězem ( $\lambda = 0,24 \text{ [m]}$ ), byly vypočteny v tabulkách pro potřebné celkové doby  $T_c$  i odpovídající výrobní rychlosti modelového zařízení. Teploty povrchu topného natavovacího válce jsou voleny od teploty o  $50^\circ\text{C}$  vyšší, než je teplota měknutí termoplastické nitě, do teploty  $350 - 380^\circ\text{C}$  podle druhu materiálu nitě. Při sledování proteplování nití, rozumíme pod pojmem tloušťka nitě sílu stěny nitě po jejím přitlačení lištou k topnému nata-  
vovacímu válci.

TABULKA 6.2

TEPLOTY POVRCHU TOPNÉHO NATAVOVACÍHO VÁLCE $\omega_v [^{\circ}C]$							
PAD 6	230		250		300		340
	$\omega_m = 180 [^{\circ}C]$	doba styku	výrobní rychlosť	doba styku	výrobní rychlosť	doba styku	výrobní rychlosť
$\omega_m = 180 [^{\circ}C]$	$\tau_c [s]$	$v[m/min]$	$\tau_c [s]$	$v[m/min]$	$\tau_c [s]$	$v[m/min]$	$\tau_c [s]$
tloušťka nitě $s_4 [m]$	0,2	7,5	1,92	6,0	2,4	4,5	3,2
	*	*	11	1,31	9	1,6	7,5

\* - hledaná doba styku je delší než 11 [s].

TABULKA ē. 3

\* - hledaná doba styku je delší než 11 [n].

TABULKA Ě. 4

TEPLOTY POVrchu topného natácvaného válce $u_v$ [ $^{\circ}\text{C}$ ]															
PVC-Cl $u_m = 70\text{--}130 [^{\circ}\text{C}]$	150			200			250			300			350		
	$\bar{U}_c$ [s]	výrobní rychlosť stýku	doba	$\bar{U}_c$ [s]	výrobní rychlosť stýku	doba	$\bar{U}_c$ [s]	výrobní rychlosť stýku	doba	$\bar{U}_c$ [s]	výrobní rychlosť stýku	doba	$\bar{U}_c$ [s]	výrobní rychlosť stýku	doba
tlučka nitě	0,2	2,5-8,5	5,76	1,5-4,5	9,6-3,2	1,5-3,0	9,6-4,8	1-2,5	14,4-5,76	1-2	14,4-7,2				
$s \cdot 10^3$ [m]	0,4	5 - *	2,86	3,5-8	4,11-1,6	2,5-6,0	5,76-2,402,0-5,0	7,2-2,88	1,5-4,3	9,6-3,2					

\* - hledaná doba styku je doslova 11 [z] \*

Ze zjištěných hodnot v tabulkách pro nás vyplývá:

a) Proteplování nití z polyamidu 6 (PAD 6).

Pro použití termoplastických nití z polyamidu 6 je nevýhodou jeho poměrně vysoká teplota měknutí. To nás nutí vyhřívat povrch topného natavovacího válce na vyšší teploty. Výrobní rychlosť modelového zařízení i při vyšších teplotách nebude velká. K použití lze doporučit polyamidovou nit do tloušťky  $0,4 \cdot 10^{-3}$  [m].

b) Proteplování nití z polypropylénu (POP).

Nižší teplota měknutí oproti polyamidu 6 umožňuje vyrábět pojednou textilii ze soustav nití při nižších teplotách povrchu topného natavovacího válce. Nevýhodou pro vlastní použití je malý teplotní rozdíl mezi teplotou tání a teplotou měknutí. Při proteplování polypropylénových nití bude po překročení oblasti teploty měknutí hrozit velmi rychle nebezpečí roztání nití. K použití lze doporučit polypropylénovou nit do tloušťky  $0,6 \cdot 10^{-3}$  [m].

c) Proteplování nití z chloreovaného polyvinylchloridu (PVC - Cl).

Nitě z PVC - Cl jsou nejvýhodnější pro použití na výrobu pojednou textilie ze soustav nití. Jejich výhodou je především nízká teplota měknutí. Dostatečně velký je i rozdíl mezi teplotou měknutí a teplotou tání. Pro vytvoření pevných spojů mezi soustavami nití je nutné nejen zahřát termoplastickou nit na teplotu měknutí, ale i použít dosti velkého přitlaku lišt. To na našem modelovém zařízení lze snadno provést. K použití doporučuji nit do tloušťky  $0,6$  až  $0,8 \cdot 10^{-3}$  [m].

Zjištěné hodnoty v tabulkách byly vypočteny teoreticky a pro praktické použití bude nutné tyto hodnoty porovnat s výsledky praktických zkoušek.

Cílem mé práce bylo shrnout poznatky o tepelných vlastnostech vlákenných materiálů (zvláště POP, PVC - Cl, PAD 6 a skla) a vyšetřit podmínky pro nastavení termoplastických nití na nitě základní. Dále stanovit požadavky na modelové zařízení, které by vyrábělo pojenu textilii ze soustav nití při výrobní rychlosti do 20 m/min.

Z tepelných vlastností termoplastických materiálů má největší význam teplota měknutí, teplota tání a tepelná vodivost. Vedle těchto vlastností jsem se zmínil i o měrném teple a teplotě zeskelnění.

Při výrobě pojene textilie ze soustav nití předpokládám, že výkyvné ukládání termoplastických nití je již na zahřáté nitě základní. Vznik pevných spojů mezi termoplastickými a základními nitěmi závisí pouze na době zahřátí termoplastických nití na teplotu měknutí. Tato doba byla nazvána celkovou dobou  $T_c$ . Zjištění její velikosti je rozhodující pro tvorbu pojene textilie ze soustav nití. Velikost celkové doby  $T_c$  může značně prodloužit vliv chladícího dělku hrotů lišt lišťového řetězu. Při řešení proteplování termoplastických nití jsem předpokládal, že vliv chladícího dělku hrotů lišt bude potlačen poteplonáváním hrotů, nebo zahříváním lišt tepelným záříčem nebo plynovými hořáky.

Sledování nestacionárního vedení tepla je matematicky dosti náročné. Místo obtížného řešení diferenciální rovnice pro nestacionární vedení tepla bylo použito Schmidtovy grafické metody konečných rozdílů, jejíž přesnost je pro technickou praxi dostatečná. Schmidtova grafická metoda konečných rozdílů umožňuje

stanovit hodnoty teplot v závislosti na čase a vzdálenosti od povrchu ohřívaného materiálu.

Použití této metody vyžaduje vypočítat součinitele přestupu tepla. Proteplování nití při výrobě pojene textilie ze soustav nití se děje současně vedením, prouděním a sáláním tepla. Náš hledaný celkový součinitel přestupu tepla  $\alpha_c$  zahrnuje v sobě součet všech tří složek sdílení tepla. Pro výpočet jeho velikosti bylo použito teorie podobnosti.

Řešení nestacionárního vedení tepla grafickou Schmidtovou metodou konečných rozdílů jsem provedl programem „ OHREV “ na počítači Tesla RPP - 16 S. Proteplování nití bylo sledováno 11 sekund po dotyku termoplastické nitě se zahřátou nití základní. Z výsledků získaných na počítači RPP - 16 S ( pílohy diplomové práce ) jsem získal potřebné celkové doby  $T_c$  pro různé druhy a tloušťky nití a teploty povrchu topného natavovacího válce. Získané velikosti celkových dob  $T_c$  dále posloužily, díky znalostem délky opásání topného natavovacího válce lišto-vým řetězem, k výpočtu odpovídajících výrobních rychlostí modelového zařízení.

Pro výrobu pojene textilie ze soustav nití bylo uvažováno použití nití skleněných jako nití základních a polyamidu 6 (PAD 6), polypropylénu (POP) a chloreovaného polyvinylchloridu (PVC - Cl) , jako nití termoplastických.

Výsledkem mé práce je nalezení tabelárních závislostí výrobní rychlosti zařízení (celkové doby  $T_c$ ) na druhu a tloušťce nitě a teplotě povrchu topného natavovacího válce. Hodnoty v tabulkách byly zjištěny teoreticky a pro praktické použití bude nutné tyto hodnoty porovnat s výsledky praktických zkoušek.

Seznam použité literatury

---

- /1/ FOLTYN J. : Příruční tabulky pro chemiky vláknáře;  
1.vydání, SNTL Praha 1975
- /2/ HOŠEK J. : Nauka o teple; 1.vydání, SPN Praha 1954
- /3/ HUGO J. : Konstrukční plastické hmoty, jejich  
vlastnosti a využití ve strojirennství;  
1.vydání, SNTL Praha 1965
- /4/ KALČÍK J., SÝKORA K. : Technická termomechanika;  
1.vydání, Academia Praha 1973
- /5/ KRČMA R., MATĚJKOVÁ J. : A.O.- č.188597; způsob výroby  
a zařízení pro výrobu pojených textilií  
z nekonečných vlákenných útvarů
- /6/ SCHOTTI I. : Výpočet nestacionárního vedení tepla  
Schmidtovou diferenční metodou na počítači  
RPP-16; KTK VSŠT, Liberec 1980
- /7/ MICHEJEV M.A.: Základy sdílení tepla; 1.vydání,  
SNTL Praha 1953
- /8/ PLATER O. : Praktische Rheologie für Kunststoff-  
schmelzem; Wien 1970
- /9/ Kunststoffe; sešit 5, strana 335, NSR 1965

VYPOCET NESTACIONARNEHO VEDENI TEPLA JEDNOSTRANNE OHRIVANYM MATERIALEM  
 (TEPLOTA V URCITEM MISTE MATERIALU SE MEHI S CASEM)  
 PŘIBLIZNOU DIFERENCIAL RESP. SCHMIDTOVOU GRAFICKOU METODOU

POCATECNI TEPLOTA MATERIALU (TELESA) UP = 20.0  
 TEPLOTA TEPELNHO ZARICE RESP. OKOLI UV = 230.0  
 TEPELNA VODIVOST MATERIALU LAMBDA = 0.2900  
 SOUCINITEĽ TEPELNE VODIVOSTI A = 0.1190E- 6  
 SOUCINITEĽ PRESTUPU TEPLA ALFA = 100.0  
 VELIKOST ELEMENTU TLOUSTKY MATERIALU BX = 0.2500E- 4  
 POSET. VYSETROVANYCH ELEMENTARNICH USEKU N = 8  
 VYSETROVARA DOBA TEPELNHO PUSOBENI Z = 0.1100E- 2  
 VELIKOST VYSETROVANYCH CASOVYCH INTERVALU TAU = 0.5000  
 VELIKOST CASOVE DIFERENCE DT = 0.2626E- 2  
 RELATIVNI SOUCINITEĽ PRESTUPU TEPLA S = 0.2900E- 2  
 POCEY VYPOCNU MEZI DVEMA VYSTUPY TEPLOT D = 190  
 ROZDIL POCATECNI TEPLOTY MATERIALU A OKOLI DU = 210.0

TABULKA HODNOT TEPLOT V ZAVISlosti NA CASE A VZDALENOSTI OD POVRCHU TELESA

KR	CAS	VZDALENOST OD POVRCHU TELES(V MILIMETRECH)														
		0.000	0.050	0.100	0.150	0.200	0	1	2	3	4	5	6	7	8	9
22	11.00	207.4	207.2	207.0	206.9	206.8	206.7	206.6	206.5	206.5	206.5	206.5	206.5	206.5	206.5	206.5
21	10.50	205.0	204.8	204.6	204.5	204.3	204.2	204.1	204.1	204.1	204.1	204.1	204.1	204.1	204.1	204.1
20	10.00	202.4	202.2	202.0	201.8	201.6	201.5	201.4	201.4	201.3	201.3	201.3	201.3	201.3	201.3	201.3
19	9.50	199.4	199.2	199.0	198.8	198.6	198.5	198.4	198.3	198.3	198.3	198.3	198.3	198.3	198.3	198.3
18	9.00	196.2	196.0	195.7	195.5	195.3	195.2	195.1	195.0	195.0	195.0	195.0	195.0	195.0	195.0	195.0
17	8.50	192.7	192.4	192.1	191.9	191.7	191.5	191.4	191.3	191.3	191.3	191.3	191.3	191.3	191.3	191.3
16	8.00	188.8	188.4	188.1	187.9	187.6	187.5	187.3	187.2	187.2	187.2	187.2	187.2	187.2	187.2	187.2
15	7.50	184.4	184.1	183.7	183.4	183.2	183.0	182.8	182.7	182.7	182.7	182.7	182.7	182.7	182.7	182.7
14	7.00	179.6	179.2	178.9	178.5	178.2	178.0	177.9	177.8	177.7	177.7	177.7	177.7	177.7	177.7	177.7
13	6.50	174.3	173.9	173.5	173.1	172.8	172.6	172.4	172.3	172.2	172.2	172.2	172.2	172.2	172.2	172.2
12	6.00	168.5	168.0	167.5	167.1	166.8	166.5	166.3	166.2	166.1	166.1	166.1	166.1	166.1	166.1	166.1
11	5.50	162.0	161.4	160.9	160.5	160.1	159.8	159.5	159.4	159.4	159.4	159.4	159.4	159.4	159.4	159.4
10	5.00	154.8	154.2	153.7	153.2	152.8	152.4	152.2	152.0	151.9	151.9	151.9	151.9	151.9	151.9	151.9
9	4.50	146.9	146.3	145.6	145.1	144.6	144.3	144.0	143.8	143.7	143.7	143.7	143.7	143.7	143.7	143.7
8	4.00	138.2	137.4	136.7	136.1	135.6	135.2	134.9	134.7	134.6	134.6	134.6	134.6	134.6	134.6	134.6
7	3.50	128.5	127.7	126.9	126.3	125.7	125.3	124.9	124.7	124.6	124.6	124.6	124.6	124.6	124.6	124.6
6	3.00	117.8	116.9	116.1	115.3	114.7	114.2	113.9	113.6	113.5	113.5	113.5	113.5	113.5	113.5	113.5
5	2.50	106.0	105.0	104.1	103.3	102.6	102.0	101.6	101.4	101.2	101.2	101.2	101.2	101.2	101.2	101.2
4	2.00	93.0	91.8	90.8	89.9	89.1	88.5	88.1	87.8	87.6	87.6	87.6	87.6	87.6	87.6	87.6
3	1.50	78.6	77.3	76.1	75.1	74.3	73.7	73.2	72.8	72.7	72.7	72.7	72.7	72.7	72.7	72.7
2	1.01	62.6	61.2	59.9	58.8	57.9	57.2	56.7	56.3	56.1	56.1	56.1	56.1	56.1	56.1	56.1
1	0.51	45.0	43.4	42.0	40.8	39.8	39.0	38.4	38.0	37.8	37.8	37.8	37.8	37.8	37.8	37.8
0	0.00	20.9	20.0	20.0	20.0	20.0	20.0	20.0	20.0	20.0	20.0	20.0	20.0	20.0	20.0	20.0







VYPOCET NESTACIONARNIHO VEDENI TEPLA JEDNOSTRANNE OHRIVANYM MATERIALEM  
 (TEPLOTA V URCITEM MISTE MATERIALU SE MENI S CASEM)  
 PРИБЛИЖНОУ ДИФЕРЕНЦИЈАЛНОУ ГРАФИЧКОУ МЕТОДОУ

POCATECNI TEPLOTA MATERIALU (TELESA) UP = 20.0  
 TEPLOTA TEPELNEMO ZARICE RESP. OKOLI UV = 380.0  
 TEPELNA VODIVOSTI MATERIALU LAMBDA = 0.2900  
 SOUCINITEĽ TEPELNE VODIVOSTI A = 0.1190E- 6  
 SOUCINITEĽ PRESTUPU TEPLA ALFA = 100.0  
 VELIKOST ELEMENTU TLOUSTKY MATERIALU DX = 0.2500E- 4  
 POCEŤ VYSETROVANYCH ELEMENTARNICH USEKU N = 8  
 VYSETROVANA DOBA TEPELNEMO FUSORENÍ Z = 0.1100E 2  
 VELIKOST VYSETROVANYCH CASOVYCH INTERVALU TAU = 0.5000  
 VELIKOST CASOVE DIFERENCE DT = 0.2626E- 2  
 RELATIVNI SOUCINITEĽ PRESTUPU TEPLA S = 0.2900E- 2  
 POCEŤ VYPOCNU MEZI DVEMA VYSTUPY TEPLOT N = 190  
 ROZDIL POCATECNI TEPLOTY MATERIALU A OKOLI DU = 360.0

TABULKA HODNOT TEPLOT V ZAVISLOSTI NA CASE A VZDALENOSTI OD POUVRCHU TELESA

KR	CAS	VZDALENOST OD POUVRCHU TELES(V MILIMETRECH)														
		0.000	0.050	0.100	0.150	0.200	0	1	2	3	4	5	6	7	8	9
22	11.00	341.2	340.9	340.7	340.4	340.2	340.0	339.9	339.8	339.8	339.8	339.8	339.8	339.8	339.8	339.8
21	10.50	337.2	336.8	336.5	336.2	336.0	335.8	335.7	335.6	335.5	335.5	335.5	335.5	335.5	335.5	335.5
20	10.00	332.6	332.3	331.9	331.6	331.4	331.2	331.0	330.9	330.8	330.8	330.8	330.8	330.8	330.8	330.8
19	9.50	327.7	327.3	326.9	326.5	326.2	326.0	325.8	325.7	325.7	325.7	325.7	325.7	325.7	325.7	325.7
18	9.00	322.1	321.7	321.3	320.9	320.6	320.3	320.1	320.0	319.9	319.9	319.9	319.9	319.9	319.9	319.9
17	8.50	316.1	315.6	315.1	314.7	314.3	314.0	313.8	313.7	313.6	313.6	313.6	313.6	313.6	313.6	313.6
16	8.00	309.3	308.8	308.2	307.8	307.4	307.1	306.8	306.7	306.6	306.6	306.6	306.6	306.6	306.6	306.6
15	7.50	301.9	301.3	300.7	300.2	299.7	299.4	299.1	299.0	298.9	298.9	298.9	298.9	298.9	298.9	298.9
14	7.00	293.7	293.0	292.3	291.8	291.3	290.9	290.6	290.4	290.3	290.3	290.3	290.3	290.3	290.3	290.3
13	6.50	284.6	283.8	283.1	282.5	281.9	281.5	281.2	281.0	280.9	280.9	280.9	280.9	280.9	280.9	280.9
12	6.00	274.5	273.7	272.9	272.2	271.6	271.1	270.8	270.6	270.5	270.5	270.5	270.5	270.5	270.5	270.5
11	5.50	263.4	262.5	261.6	260.8	260.2	259.7	259.3	259.0	258.9	258.9	258.9	258.9	258.9	258.9	258.9
10	5.00	251.2	250.1	249.1	248.3	247.6	247.0	246.6	246.3	246.2	246.2	246.2	246.2	246.2	246.2	246.2
9	4.50	237.6	236.4	235.3	234.4	233.6	233.0	232.6	232.2	232.1	232.1	232.1	232.1	232.1	232.1	232.1
8	4.00	222.6	221.3	220.1	219.1	218.2	217.5	217.0	216.7	216.5	216.5	216.5	216.5	216.5	216.5	216.5
7	3.50	206.1	204.6	203.3	202.2	201.2	200.4	199.9	199.5	199.3	199.3	199.3	199.3	199.3	199.3	199.3
6	3.00	187.8	186.1	184.7	183.4	182.4	181.5	180.9	180.5	180.3	180.3	180.3	180.3	180.3	180.3	180.3
5	2.50	167.5	165.7	164.1	162.7	161.6	160.7	160.0	159.5	159.3	159.3	159.3	159.3	159.3	159.3	159.3
4	2.00	145.2	143.2	141.4	139.9	138.6	137.6	136.8	136.3	136.0	136.0	136.0	136.0	136.0	136.0	136.0
3	1.50	120.5	118.3	116.3	114.6	113.2	112.1	111.2	110.6	110.3	110.3	110.3	110.3	110.3	110.3	110.3
2	1.01	93.1	90.7	88.5	86.6	85.1	83.8	82.9	82.2	81.9	81.9	81.9	81.9	81.9	81.9	81.9
1	0.51	63.0	60.2	57.8	55.7	54.0	52.6	51.6	50.9	50.6	50.6	50.6	50.6	50.6	50.6	50.6
0	0.00	21.5	20.0	20.0	20.0	20.0	20.0	20.0	20.0	20.0	20.0	20.0	20.0	20.0	20.0	20.0

VYPOCET NESTACIONARNIHO VEDENI TEPLA JEDNOSTRANNE OHRIVANYM MATERIALEM  
 (TEPLOTA V URCITEM MISTE MATERIALU SE MENI S CASEM)  
 PРИБЛИЖНОУ ДИФЕРЕНЧНІ РЕСП. SCHMIDTOVOU GRAFICKOU МЕТОДОУ

POCATECNI TEPLOTA MATERIALU (TELESA) UP = 20.0  
 TEPLOTA TEPELNEHO ZARICE RESP. OKOLI UV = 230.0  
 TEPELNA VODIVOST MATERIALU LAMBDA = 0.2900  
 SOUCINITEĽ TEPELNE VODIVOSTI A = 0.1190E- 6  
 SOUCINITEĽ PRESTUPU TEPLA ALFA = 100.0  
 VELIKOST ELEMENTU TLOUSTKY MATERIALU BX = 0.5000E- 4  
 POSET VYSETROVANYCH ELEMENTARNICH USEKU M = 8  
 VYSETROVANA DOBA TEPELNEHO FUSOBENI Z = 0.1100E 2  
 VELIKOSY VYSETROVANYCH CASOVYCH INTERVALU TAU = 0.5000

VELIKOSI CASOVE DIFERENCE DT = 0.1050E- 1  
 RELATIVNI SOUCINITEĽ PRESTUPU TEPLA S = 0.2900E- 2  
 POSET VYPOCNU MEZI DVEMA VYSTUPY TEPLOT O = 48  
 ROZDIL POCATECNI TEPLOTY MATERIALU A OKOLI DU = 210.0

TABULKA HODNOT TEPLOT V ZAVISLOSTI NA CASE A VZDALENOSTI OD POVRCHU TELESA

KR	CAS	VZDALENOST OD POVRCHU TELES(V MILIMETRECH)														
		0.000	0.100	0.200	0.300	0.400	0	1	2	3	4	5	6	7	8	9
22	11.00	162.9	161.8	160.8	159.9	159.2	158.6	158.1	157.8	157.7	157.7					
21	10.50	159.5	158.4	157.3	156.3	155.6	154.9	154.5	154.2	154.0	154.0					
20	10.00	156.0	154.7	153.6	152.6	151.8	151.1	150.7	150.3	150.2	150.2					
19	9.50	152.2	150.9	149.7	148.7	147.8	147.1	146.6	146.3	146.1	146.1					
18	9.00	148.3	146.9	145.6	144.6	143.7	142.9	142.4	142.0	141.9	141.9					
17	8.50	144.1	142.7	141.4	140.2	139.3	138.5	138.0	137.6	137.4	137.4					
16	8.00	139.8	138.3	136.9	135.7	134.7	133.9	133.3	132.9	132.7	132.7					
15	7.50	135.2	133.6	132.2	130.9	129.9	129.0	128.4	128.0	127.8	127.8					
14	7.00	130.4	128.7	127.2	125.9	124.8	123.9	123.2	122.8	122.6	122.6					
13	6.50	125.4	123.6	122.0	120.6	119.5	118.5	117.8	117.4	117.1	117.1					
12	6.00	120.0	118.2	116.5	115.1	113.8	112.9	112.1	111.7	111.4	111.4					
11	5.50	114.5	112.5	110.8	109.2	108.0	106.9	106.2	105.7	105.4	105.4					
10	5.00	108.6	106.6	104.7	103.1	101.8	100.7	99.9	99.3	99.0	99.0					
9	4.50	102.5	100.3	98.3	96.6	95.2	94.1	93.3	92.7	92.4	92.4					
8	4.00	96.0	93.7	91.6	89.9	88.4	87.2	86.3	85.7	85.4	85.4					
7	3.50	89.2	86.8	84.6	82.8	81.2	80.0	79.0	78.4	78.1	78.1					
6	3.00	82.1	79.5	77.3	75.3	73.7	72.4	71.4	70.7	70.4	70.4					
5	2.50	74.6	71.9	69.5	67.5	65.8	64.4	63.4	62.7	62.3	62.3					
4	2.00	66.7	63.9	61.4	59.2	57.4	56.0	54.9	54.2	53.8	53.8					
3	1.50	58.5	55.5	52.9	50.6	48.7	47.2	46.0	45.3	44.9	44.9					
2	1.01	49.8	46.6	43.9	41.5	39.5	37.9	36.7	35.9	35.5	35.5					
1	0.51	40.5	37.2	34.3	31.9	29.8	28.2	27.0	26.2	25.8	25.8					
0	0.00	21.8	20.0	20.0	20.0	20.0	20.0	20.0	20.0	20.0	20.0					

VYPOCET NESTACIONARNIHO VEDENI TEPLA JEDNOSTRANNE OHRIVANYM MATERIALEM  
 (TEPLOTA V URCITEM MISTE MATERIALU SE MENI S CASEM)  
 PРИБЛИЗНОУ DIFERENČNÍ RESP. SCHMIDTOVOU GRAFICKOU METODOU

POCATECNI TEPLOTA MATERIALU (TELESA) UP = 20.0  
 TEPLOTA TEPELNEMO ZARICE RESP. OKOLI UV = 250.0  
 TEPELNA VODIVOST MATERIALU LAMBDA = 0.2900  
 SOUCINITEĽ TEPELNE VODIVOSTI A = 0.1190E- 6  
 SOUCINITEĽ PRESTUPU TEPLA ALFA = 100.0  
 VELIKOSŤ ELEMENTU TLOUSKY MATERIALU DX = 0.5000E- 4  
 POCEI VYSETROVANÝCH ELEMENTARNÝCH USEKU K = 8  
 VYSETROVANA DOBA TEPELNEMO FUSORENÍ Z = 0.1100E 2  
 VELIKOSŤ VYSETROVANÝCH CASOVÝCH INTERVALU TAU = 0.5000

VELIKOSŤ CASOVÉ DIFERENCIE BT = 0.1050E- 1  
 RELATIVNÍ SOUCINITEĽ PRESTUPU TEPLA S = 0.2900E- 2  
 POCEI VYPOCETU MEZI DVĚMA VÝSTUPY TEPLOT Ø = 48  
 RÚZDIL POCATECNI TEPLOTY MATERIALU A OKOLI DU = 230.0

TABULKA HODINOT TEPLOT V ZAVISLOSTI NA CASE A VZIALENOSTI OD POVRCHU TELESA

KR	CAS	VZIALENOST OD POVRCHU TELES(V MILIMETRECH)														
		0.000	0.100	0.200	0.300	0.400	0	1	2	3	4	5	6	7	8	9
22	11.00	176.5	175.3	174.2	173.2	172.4	171.8	171.3	171.0	170.8	170.8					
21	10.50	172.8	171.5	170.3	169.3	168.5	167.8	167.3	166.9	166.8	166.8					
20	10.00	168.9	167.5	166.3	165.2	164.3	163.6	163.1	162.7	162.6	162.6					
19	9.50	164.8	163.4	162.1	160.9	160.0	159.3	158.7	158.3	158.1	158.1					
18	9.00	160.5	159.0	157.6	156.4	155.4	154.7	154.1	153.7	153.5	153.5					
17	8.50	155.9	154.4	152.9	151.7	150.7	149.8	149.2	148.8	148.6	148.6					
16	8.00	151.2	149.5	148.0	146.7	145.6	144.7	144.1	143.8	143.4	143.4					
15	7.50	146.2	144.4	142.8	141.5	140.3	139.4	138.7	138.3	138.0	138.0					
14	7.00	140.9	139.1	137.4	136.0	134.8	133.8	133.1	132.6	132.3	132.3					
13	6.50	135.4	133.4	131.7	130.2	128.9	127.9	127.1	126.6	126.4	126.4					
12	6.00	129.6	127.9	126.7	124.1	122.8	121.7	120.9	120.4	120.1	120.1					
11	5.50	123.5	121.3	119.4	117.7	116.3	115.2	114.4	113.8	113.5	113.5					
10	5.00	117.1	114.8	112.8	111.0	109.6	108.4	107.5	106.9	106.6	106.6					
9	4.50	110.3	108.0	105.8	104.0	102.4	101.2	100.3	99.6	99.3	99.3					
8	4.00	103.3	100.8	98.5	96.5	94.9	93.6	92.6	92.0	91.7	91.7					
7	3.50	95.8	93.1	90.8	88.8	87.1	85.7	84.7	84.0	83.6	83.6					
6	3.00	88.0	85.2	82.7	80.6	78.8	77.4	76.3	75.6	75.2	75.2					
5	2.50	79.8	76.9	74.2	72.0	70.1	68.6	67.5	66.7	66.4	66.4					
4	2.00	71.2	68.1	65.5	63.0	61.0	59.4	58.2	57.5	57.1	57.1					
3	1.50	62.1	58.9	56.0	53.5	51.4	49.8	48.5	47.7	47.3	47.3					
2	1.01	52.6	49.2	46.2	43.6	41.4	39.6	38.3	37.4	37.0	37.0					
1	0.51	42.5	38.9	35.7	33.0	30.8	29.0	27.7	26.8	26.3	26.3					
0	0.00	21.9	20.0	20.0	20.0	20.0	20.0	20.0	20.0	20.0	20.0					

VYPOCET NESTACIONARNHO VEDENI TEPLA JEDNOSTRANNE OHRIVANYM MATERIALEM  
 (TEPLOUTA V URCITEM KISTE MATERIALU SE MENI S CASEM)  
 PRIBLIZNOU DIFERENCNU RESP. SCHMIDTOVOU GRAFICKOU METODOU

POCATECNI TEPLOTA MATERIALU (TELESA) UP = 20.0  
 TEPLOTA TEPELNHO ZARICE RESP. OKOLI UV = 300.0  
 TEPELNA VODIVOSTI MATERIALU LAMBDA = 0.2900  
 SOUCINITEĽ TEPELNE VODIVOSTI A = 0.1190E- 6  
 SOUCINITEĽ PRESTUPU TEPLA ALFA = 100.0  
 VELIKOSŤ ELEMENTU TLOUSTKY MATERIALU BX = 0.5000E- 4  
 POČET VYSETROVANÝCH ELEMENTARNÝCH USEKU M = 8  
 VYSETROVANA DOBA TEPELNHO PUSOBENI Z = 0.1100E 2  
 VELIKOSŤ VYSETROVANÝCH CASOVÝCH INTERVALU TAU = 0.5000

VELIKOSŤ CASOVÉ DIFERENCIE BT = 0.1050E- 1  
 RELATIVNÝ SOUCINITEĽ PRESTUPU TEPLA S = 0.2900E- 2  
 POČET VYPOCTU MEZI DVĚMA VÝSTUPY TEPLOT D = 48  
 ROZDÍL POCATECNI TEPLOTY MATERIALU A OKOLI DU = 280.0

TABULKA HODNOT TEPLOT V ZAVISLОСTI NA CASE A VZDALENosti OD POUVRCHU TELESa

KR	CAS	VZDALENOST OD POUVRCHU TELES(V MILIMETRECH)														
		0.000	0.100	0.200	0.300	0.400	0	1	2	3	4	5	6	7	8	9
22	11.00	210.6	209.1	207.7	206.5	205.5	204.8	204.2	203.8	203.6	203.6					
21	10.50	206.0	204.5	203.0	201.8	200.8	199.9	199.3	198.9	198.7	198.7					
20	10.00	201.3	199.6	198.1	196.8	195.7	194.9	194.2	193.8	193.5	193.5					
19	9.50	196.3	194.5	192.9	191.6	190.4	189.5	188.8	188.4	188.1	188.1					
18	9.00	191.0	189.2	187.5	186.1	184.9	183.9	183.2	182.7	182.5	182.5					
17	8.50	185.5	183.6	181.8	180.3	179.1	178.0	177.3	176.8	176.5	176.5					
16	8.00	179.7	177.7	175.8	174.2	172.9	171.9	171.1	170.5	170.3	170.3					
15	7.50	173.6	171.5	169.5	167.9	166.5	165.4	164.5	164.0	163.7	163.7					
14	7.00	167.2	165.0	162.9	161.2	159.7	158.5	157.7	157.1	156.8	156.8					
13	6.50	160.5	158.1	156.0	154.1	152.6	151.4	150.4	149.8	149.5	149.5					
12	6.00	153.4	150.9	148.7	146.7	145.1	143.8	142.9	142.2	141.9	141.9					
11	5.50	146.0	143.4	141.0	139.0	137.3	135.9	134.9	134.2	133.9	133.9					
10	5.00	138.2	135.4	132.9	130.8	129.0	127.6	126.5	125.8	125.5	125.5					
9	4.50	130.0	127.1	124.5	122.2	120.4	118.9	117.7	117.0	116.6	116.6					
8	4.00	121.4	118.3	115.6	113.2	111.3	109.7	108.5	107.7	107.3	107.3					
7	3.50	112.3	109.1	106.2	103.8	101.7	100.0	98.7	97.9	97.5	97.5					
6	3.00	102.8	99.4	96.4	93.8	91.6	89.9	88.5	87.7	87.2	87.2					
5	2.50	92.8	89.2	86.1	83.3	81.0	79.2	77.8	76.9	76.5	76.5					
4	2.00	82.3	78.5	75.2	72.3	69.9	68.0	66.6	65.6	65.1	65.1					
3	1.50	71.3	67.3	63.8	60.8	58.3	56.3	54.7	53.7	53.2	53.2					
2	1.01	59.7	55.5	51.8	48.7	46.0	43.9	42.3	41.3	40.7	40.7					
1	0.51	47.4	43.0	39.1	35.9	33.1	31.0	29.3	28.3	27.7	27.7					
0	0.00	22.4	20.0	20.0	20.0	20.0	20.0	20.0	20.0	20.0	20.0					

VYPOCET NESTACIONARNIU VEDENI TEPLA JEDNOSTRANNE OHRIUVANYM MATERIALEM  
 (TEPLOTA V URCITEM MISTE MATERIALU SE MENI S CASEM)  
 PРИБЛИЗНОУ DIFERENCI RESP. SCHMIDTOVOU GRAFICKOU METODOU

POCATECKI TEPLOTA MATERIALU (TELESA) UP = 20.0

TEPLOTA TEPELNEHO ZARICE RESP. OKOLI UV = 340.0

TEPELNA VODIVOSŤ MATERIALU LAMBDA = 0.2900

SOUCINITEĽ TEPELNE VODIVOSTI A = 0.1190E- 6

SOUCINITEĽ PRESTUPU TEPLA ALFA = 100.0

VELIKOSŤ ELEMENTU TLOUSTKY MATERIALU BX = 0.5000E- 4

POCET VYSETROVANÝCH ELEMENTARNÝCH USEKU M = 8

VYSETROVANA DOBA TEPELNEHO PUSOBENI Z = 0.1100E- 2

VELIKOSŤ VYSETROVANÝCH CASOVÝCH INTERVALU TAU = 0.5000

VELIKOSŤ CASOVÉ DIFERENCIA DT = 0.1050E- 1

RELATÍVNI SOUCINITEĽ PRESTUPU TEPLA S = 0.2900E- 2

POCET VYPOCTU MEZI DVĚMA VÝSTUPY TEPLOT Q = 48

ROZDÍL POCATECKI TEPLOTY MATERIALU A OKOLI DU = 320.0

TABULKA HODNOT TEPLOT V ZAVISLОСТИ NA CASE A VZDALENOSTI OD POVRCHU TELESA

KR	CAS	VZDALENOSŤ OD POVRCHU TELES (V MILIMETRECH)														
		0.000	0.100	0.200	0.300	0.400	0	1	2	3	4	5	6	7	8	9
22	11.00	237.8	236.1	234.5	233.2	232.1	231.1	230.5	230.0	229.8	229.8					
21	10.50	232.6	230.8	229.2	227.8	226.6	225.6	224.9	224.4	224.2	224.2					
20	10.00	227.2	225.3	223.6	222.1	220.8	219.8	219.1	218.6	218.3	218.3					
19	9.50	221.5	219.5	217.7	217.1	216.1	214.8	213.7	213.0	212.4	212.2					
18	9.00	215.5	213.4	211.5	209.8	208.4	207.3	206.5	206.0	205.7	205.7					
17	8.50	209.2	206.9	204.9	203.2	201.8	200.6	199.7	199.2	198.9	198.9					
16	8.00	202.5	200.2	198.1	196.3	194.8	193.6	192.6	192.0	191.7	191.7					
15	7.50	195.6	193.1	190.9	189.0	187.4	186.1	185.2	184.5	184.2	184.2					
14	7.00	188.3	185.7	183.3	181.3	179.7	178.3	177.3	176.8	176.3	176.3					
13	6.50	180.6	177.8	175.4	173.3	171.5	170.1	169.1	168.4	168.0	168.0					
12	6.00	172.5	169.6	167.1	164.9	163.0	161.5	160.4	159.7	159.3	159.3					
11	5.50	164.0	161.0	158.3	156.0	154.0	152.3	151.3	150.5	150.1	150.1					
10	5.00	155.1	151.9	149.1	146.6	144.6	143.0	141.7	140.9	140.5	140.5					
9	4.50	145.7	142.4	139.4	136.8	134.7	133.0	131.7	130.8	130.4	130.4					
8	4.00	135.9	132.4	129.2	126.5	124.3	122.5	121.1	120.2	119.8	119.8					
7	3.50	125.5	121.8	118.6	115.7	113.4	111.5	110.0	109.1	108.6	108.6					
6	3.00	114.6	110.8	107.3	104.4	101.9	99.8	98.3	97.3	96.8	96.8					
5	2.50	103.2	99.1	95.5	92.4	89.8	87.7	86.1	85.0	84.5	84.5					
4	2.00	91.2	86.9	83.1	79.8	77.1	74.9	73.2	72.1	71.6	71.6					
3	1.50	78.6	74.1	70.1	66.6	63.8	61.5	59.7	58.6	58.0	58.0					
2	1.01	65.4	60.6	56.4	52.8	49.8	47.3	45.5	44.3	43.7	43.7					
1	0.51	51.3	46.3	41.9	38.1	35.0	32.5	30.7	29.5	28.8	28.8					
0	0.00	22.7	20.0	20.0	20.0	20.0	20.0	20.0	20.0	20.0	20.0					

VYPOCET NESTACIONARNHO VEDENI TEPLA JEDNOSTRANNE OHRIUVANYM MATERIALEM  
 (TEPLOTA V URCITEM MISTE MATERIALU SE MENI S CASEM)  
 PRIBLIZNOU DIFERENCNI RESP. SCHMIDTOVOU GRAFICKOU METODOU

POCATECNI TEPLOTA MATERIALU (TELESA)  $U_0 = 20.0$   
 TEPLOTA TEMELNEHO ZARICE RESP. OKOLI  $U_{\infty} = 200.0$   
 TEPELNA VODIVOST MATERIALU  $LAMBDA = 0.2100$   
 SOUCINITEL TEPELNE VODIVOSTI  $A = 0.9700E-7$   
 SOUCINITEL PRESTUPU TEPLA  $ALFA = 100.0$   
 VELIKOST ELEMENTU TLOUSTKY MATERIALU  $BX = 0.2500E-4$   
 POCET VYSETROVANYCH ELEMENTARNICH USEKU  $M = 8$   
 VYSETROVANA DOBA TEPELNEHO PUSOBENI  $Z = 0.1100E-2$   
 VELIKOST VYSETROVANYCH CASOVYCH INTERVALU  $TAU = 0.5000$   
 VELIKOST CASOVE DIFERENCE  $DT = 0.3222E-2$   
 RELATIVNI SOUCINITEL PRESTUPU TEPLA  $S = 0.2100E-2$   
 POCET VYPOCTU MEZI DVEMA VYSTUPY TEPLIT  $N = 155$   
 ROZDIL POCATECNI TEPLOTY MATERIALU A OKOLI  $DU = 180.0$

TABULKA HODNOT TEPLIT V ZAVISLOsti NA CASE A VZDALENOSTI OD POVRCHU TELESa

KR	CAS	VZDALENOST OD POVRCHU TELESa (V MILIMETRECH)														
		0.000	0.050	0.100	0.150	0.200	0	1	2	3	4	5	6	7	8	9
22	11.00	185.1	185.0	184.9	184.7	184.6	184.5	184.5	184.4	184.4	184.4	184.4	184.4	184.4	184.4	184.4
21	10.50	183.4	183.2	183.1	182.9	182.8	182.7	182.6	182.6	182.5	182.5	182.5	182.5	182.5	182.5	182.5
20	10.00	181.4	181.3	181.1	180.9	180.8	180.6	180.6	180.5	180.5	180.5	180.5	180.5	180.5	180.5	180.5
19	9.50	179.2	179.0	178.8	178.6	178.5	178.3	178.3	178.2	178.2	178.2	178.2	178.2	178.2	178.2	178.2
18	9.00	176.8	176.6	176.3	176.1	175.9	175.8	175.7	175.6	175.6	175.6	175.6	175.6	175.6	175.6	175.6
17	8.50	174.0	173.8	173.5	173.3	173.1	172.9	172.8	172.7	172.7	172.7	172.7	172.7	172.7	172.7	172.7
16	8.00	171.0	170.7	170.4	170.1	169.9	169.7	169.6	169.5	169.4	169.4	169.4	169.4	169.4	169.4	169.4
15	7.50	167.5	167.2	166.9	166.6	166.3	166.1	166.0	165.9	165.8	165.8	165.8	165.8	165.8	165.8	165.8
14	7.00	163.7	163.3	162.9	162.6	162.3	162.1	162.0	161.9	161.8	161.8	161.8	161.8	161.8	161.8	161.8
13	6.50	159.4	159.0	158.6	158.2	157.9	157.6	157.5	157.3	157.3	157.3	157.3	157.3	157.3	157.3	157.3
12	6.00	154.6	154.1	153.7	153.2	152.9	152.6	152.4	152.3	152.2	152.2	152.2	152.2	152.2	152.2	152.2
11	5.50	149.3	148.7	148.2	147.7	147.3	147.0	146.8	146.6	146.6	146.6	146.6	146.6	146.6	146.6	146.6
10	5.00	143.3	142.6	142.0	141.5	141.1	140.8	140.5	140.3	140.2	140.2	140.2	140.2	140.2	140.2	140.2
9	4.50	136.6	135.8	135.2	134.6	134.1	133.7	133.5	133.3	133.2	133.2	133.2	133.2	133.2	133.2	133.2
8	4.00	129.1	128.3	127.5	126.9	126.3	125.9	125.6	125.4	125.3	125.3	125.3	125.3	125.3	125.3	125.3
7	3.50	120.7	119.8	118.9	118.2	117.6	117.1	116.8	116.5	116.4	116.4	116.4	116.4	116.4	116.4	116.4
6	3.00	111.3	110.3	109.3	108.5	107.9	107.3	106.9	106.7	106.5	106.5	106.5	106.5	106.5	106.5	106.5
5	2.50	100.8	99.6	98.6	97.7	96.9	96.3	95.9	95.6	95.4	95.4	95.4	95.4	95.4	95.4	95.4
4	2.00	89.1	87.8	86.6	85.6	84.8	84.1	83.6	83.2	83.1	83.1	83.1	83.1	83.1	83.1	83.1
3	1.50	76.0	74.5	73.2	72.1	71.1	70.4	69.8	69.4	69.2	69.2	69.2	69.2	69.2	69.2	69.2
2	1.01	61.3	59.6	58.2	56.9	55.9	55.0	54.4	54.0	53.8	53.8	53.8	53.8	53.8	53.8	53.8
1	0.51	44.9	43.1	41.4	40.0	38.9	37.9	37.2	36.7	36.5	36.5	36.5	36.5	36.5	36.5	36.5
0	0.00	21.0	20.0	20.0	20.0	20.0	20.0	20.0	20.0	20.0	20.0	20.0	20.0	20.0	20.0	20.0

VYPOCET NESTACIONARNIUO VEDENI TEPLA JEDNOSTRARNE OHRIVANYM MATERIALEM  
 (TEPLOTA V URCITER MISTE MATERIALU SE MERI S CASEM)  
 PRIBLIZNOU DIFERENCNU RESP. SCHMIDTOVOU GRAFICKOU METODOU

POCATECNI TEPLOTA MATERIALU (TELESA) UP = 20.0  
 TEPLOTA TEPELNEMU ZARICE RESP. OKOLI UV = 380.0  
 TEPELNA VODIVOSTI MATERIALU LAMBDA = 0.2900  
 SOUCINITEĽ TEPELNE VODIVOSTI A = 0.1190E- 6  
 SOUCINITEĽ PRESTUPU TEPLA ALFA = 100.0  
 VELIKOSŤ ELEMENTU TLOUSTKY MATERIALU DX = 0.5000E- 4  
 POCEŤ VYSETROVANYCH ELEMENTARNICH USEKU M = 8  
 VYSETROVANA DOBA TEPELNEMU FUSOBENI Z = 0.1100E 2  
 VELIKOSŤ VYSETROVANYCH CASOVÝCH INTERVALU TAU = 0.5000  
 VELIKOSŤ CASOVÉ DIFERENCIE DT = 0.1050E- 1  
 RELATIVNI SOUCINITEĽ PRESTUPU TEPLA S = 0.2900E- 2  
 POCEŤ VYPUCTU MEZI DVEMA VYSTUPY TEPLOT O = 48  
 ROZDIL POCATECNI TEPLOTY MATERIALU A OKOLI DU = 360.0

TABULKA HODNOT TEPLOT V ZAVISLOSTI NA CASE A VZDALENOSTI OD POUVRCHU TELESA

KR	CAS	VZDALENOST OD POUVRCHU TELES(V MILIMETRECH)													
		0.000	0.100	0.200	0.300	0.400	0	1	2	3	4	5	6	7	8
22	11.00	265.0	263.1	261.3	259.8	258.6	257.5	256.8	256.3	256.0	256.0				
21	10.50	259.2	257.2	255.3	253.7	252.4	251.3	250.5	250.0	249.7	249.7				
20	10.00	253.1	250.9	249.0	247.3	245.9	244.8	244.0	243.4	243.1	243.1				
19	9.50	246.7	244.4	242.4	240.6	239.1	238.0	237.1	236.5	236.2	236.2				
18	9.00	239.9	237.5	235.4	233.5	232.0	230.8	229.8	229.2	228.9	228.9				
17	8.50	232.8	230.3	228.1	226.1	224.5	223.2	222.2	221.6	221.2	221.2				
16	8.00	225.4	222.7	220.4	218.3	216.6	215.2	214.2	213.5	213.2	213.2				
15	7.50	217.5	214.7	212.3	210.1	208.3	206.9	205.8	205.1	204.7	204.7				
14	7.00	209.3	206.4	203.8	201.5	199.6	198.1	197.0	196.2	195.9	195.9				
13	6.50	200.6	197.6	194.8	192.5	190.5	188.9	187.7	186.9	186.5	186.5				
12	6.00	191.5	188.3	185.4	183.0	180.9	179.2	178.0	177.1	176.7	176.7				
11	5.50	182.0	178.6	175.6	173.0	170.8	169.0	167.7	166.8	166.4	166.4				
10	5.00	172.0	168.4	165.2	162.5	160.2	158.3	157.0	156.0	155.6	155.6				
9	4.50	161.4	157.7	154.3	151.5	149.0	147.1	145.7	144.7	144.2	144.2				
8	4.00	150.3	146.4	142.9	139.9	137.3	135.3	133.8	132.8	132.3	132.3				
7	3.50	138.7	134.6	130.9	127.7	125.0	122.9	121.3	120.2	119.7	119.7				
6	3.00	126.5	122.1	118.2	114.9	112.1	109.9	108.2	107.1	106.5	106.5				
5	2.50	113.6	109.1	105.0	101.5	98.5	96.1	94.4	93.2	92.6	92.6				
4	2.00	100.1	95.3	91.0	87.3	84.2	81.8	79.9	78.7	78.0	78.0				
3	1.50	86.0	80.8	76.3	72.5	69.2	66.6	64.7	63.4	62.7	62.7				
2	1.01	71.0	65.7	61.0	56.9	53.5	50.8	48.7	47.3	46.7	46.7				
1	0.51	55.2	49.6	44.6	40.4	36.9	34.1	32.0	30.6	30.0	30.0				
0	0.00	23.1	20.0	20.0	20.0	20.0	20.0	20.0	20.0	20.0	20.0				



VYPOCET NESTACIONARNIHO VEDENI TEPLA JEDNOSTRANNE OHRIUJANYM MATERIALEM  
 (TEPLOTA V URCITEM MISTE MATERIALU SE MENI S CASEM)  
 PРИБЛИЗНОУ DIFERENČNÍ RESP. SCHMIDTOVOU GRAFICKOU METODOU

POCATECNI TEPLOTA MATERIALU (TELESA) UP = 20.0  
 TEPLOTA TEPELNEHO ZARICE RESP. OKOLI UV = 290.0  
 TEPELNA VODIVOST MATERIALU LAMBDA = 0.2100  
 SOUCINITEĽ TEPELNE VODIVOSI A = 0.9700E- 7  
 SOUCINITEĽ PRESTUPU TEPLA ALFA = 100.0  
 VELIKOST ELEMENTU TLOUSTKY MATERIALU BX = 0.2500E- 4  
 POSET VYSETROVANYCH ELEMENTARNICH USEKU N = 8  
 VYSETROVANA DOBA TEPELNEHO PUSOVENI Z = 0.1100E 2  
 VELIKOST VYSETROVANYCH CASOVYCH INTERVALU TAU = 0.5000  
 VELIKOST CASOVE DIFFERENCE DT = 0.3222E- 2  
 RELATIVNI SOUCINITEĽ PRESTUPU TEPLA S = 0.2100E- 2  
 POSET VYPOCNU MEZI DVEMA VYSTUPY TEPLOT Q = 155  
 ROZDIL POCATECNI TEPLOTY MATERIALU A OKOLI DU = 270.0

TABULKA HODNOT TEPLOT V ZAVISlosti NA CASE A VZDALENOSTI OD POVRchu TELESA

KR	CAS	VZDALENOST OD POVRchu TELES (V MILIMETRECH)														
		0.000	0.050	0.100	0.150	0.200	0	1	2	3	4	5	6	7	8	9
22	11.00	267.7	267.5	267.3	267.1	266.9	266.8	266.7	266.6	266.6	266.6	266.6	266.6	266.6	266.6	266.6
21	10.50	265.1	264.9	264.6	264.4	264.2	264.0	263.9	263.8	263.8	263.8	263.8	263.8	263.8	263.8	263.8
20	10.00	262.2	261.9	261.6	261.3	261.1	261.0	260.9	260.8	260.7	260.7	260.7	260.7	260.7	260.7	260.7
19	9.50	258.9	258.5	258.2	257.9	257.7	257.5	257.4	257.3	257.2	257.2	257.2	257.2	257.2	257.2	257.2
18	9.00	255.2	254.8	254.5	254.1	253.9	253.7	253.5	253.4	253.4	253.4	253.4	253.4	253.4	253.4	253.4
17	8.50	251.1	250.7	250.3	249.9	249.6	249.4	249.2	249.1	249.0	249.0	249.0	249.0	249.0	249.0	249.0
16	8.00	246.5	246.0	245.5	245.2	244.8	244.6	244.4	244.2	244.2	244.2	244.2	244.2	244.2	244.2	244.2
15	7.50	241.3	240.8	240.3	239.8	239.5	239.2	239.0	238.8	238.7	238.7	238.7	238.7	238.7	238.7	238.7
14	7.00	235.6	235.0	234.4	233.9	233.5	233.2	232.9	232.8	232.7	232.7	232.7	232.7	232.7	232.7	232.7
13	6.50	229.1	228.5	227.8	227.3	226.8	226.5	226.2	226.0	225.9	225.9	225.9	225.9	225.9	225.9	225.9
12	6.00	222.0	221.2	220.5	219.9	219.3	218.9	218.8	218.4	218.3	218.3	218.3	218.3	218.3	218.3	218.3
11	5.50	213.9	213.0	212.2	211.6	211.0	210.5	210.2	209.9	209.8	209.8	209.8	209.8	209.8	209.8	209.8
10	5.00	204.9	203.9	203.1	202.3	201.6	201.1	200.7	200.5	200.4	200.4	200.4	200.4	200.4	200.4	200.4
9	4.50	194.9	193.8	192.8	191.9	191.2	190.6	190.2	189.9	189.7	189.7	189.7	189.7	189.7	189.7	189.7
8	4.00	183.6	182.4	181.3	180.3	179.5	178.9	178.4	178.0	177.9	177.9	177.9	177.9	177.9	177.9	177.9
7	3.50	171.0	169.7	168.4	167.3	166.4	165.7	165.2	164.8	164.6	164.6	164.6	164.6	164.6	164.6	164.6
6	3.00	157.0	155.4	154.0	152.8	151.8	151.0	150.4	150.0	149.8	149.8	149.8	149.8	149.8	149.8	149.8
5	2.50	141.2	139.5	137.9	136.6	135.5	134.6	133.9	133.4	133.2	133.2	133.2	133.2	133.2	133.2	133.2
4	2.00	123.6	121.7	120.0	118.4	117.2	116.2	115.4	114.9	114.7	114.7	114.7	114.7	114.7	114.7	114.7
3	1.50	104.0	101.8	99.8	98.1	96.7	95.6	94.7	94.2	93.9	93.9	93.9	93.9	93.9	93.9	93.9
2	1.01	82.0	79.5	77.3	75.4	73.9	72.6	71.6	71.0	70.7	70.7	70.7	70.7	70.7	70.7	70.7
1	0.51	57.4	54.6	52.2	50.1	48.3	46.9	45.8	45.1	44.8	44.8	44.8	44.8	44.8	44.8	44.8
0	0.00	21.6	20.0	20.0	20.0	20.0	20.0	20.0	20.0	20.0	20.0	20.0	20.0	20.0	20.0	20.0





VYPOCET NESTACIONARNIHO VEDENI TEPLA JEDNOSTRANNE OHRIUVANYM MATERIALEM  
 (TEPLOTA V URCITEM MISTE MATERIALU SE MENI S CASEM)  
 PRIBLIZNOU DIFERENCI RESP. SCHMIDTOVOU GRAFICKOU METODOU

POCATECNI TEPLOTA MATERIALU (TELESA) UP = 20.0  
 TEPLOTA TEPELNEHO ZARICE RESP. OKOLI UV = 200.0  
 TEPELNA VODIVOST MATERIALU LAMBDA = 0.2100  
 SOUCINITEĽ TEPELNE VODIVOSTI A = 0.9700E- 7  
 SOUCINITEĽ PRESTUPU TEPLA ALFA = 100.0  
 VELIKOST ELEMENTU TLOUSTKY MATERIALU BX = 0.5000E- 4  
 POČET VYSETROVANÝCH ELEMENTARNÍCH USEKŮ M = 8  
 VYSETROVANA DOBA TEPELNEHO FUSORENÍ Z = 0.1100E 2  
 VELIKOST VYSETROVANÝCH CASOVÝCH INTERVALU TAU = 0.5000

VELIKOST CASOVÉ DIFERENCE DT = 0.1289E- 1  
 RELATIVNÍ SOUCINITEĽ PRESTUPU TEPLA S = 0.2100E- 2  
 POČET VYPOČTU MEZI DVĚMA VÝSTUPY TEPLOT Ø = 39  
 ROZDÍL POCATECNI TEPLOTY MATERIALU A OKOLI DU = 180.0

TABULKA HODNOT TEPLOT V ZAVISLОСTI NA CASE A VZDALENOSTI OD POUVRCHU TELESÁ

KR	CAS	VZDALENOST OD POUVRCHU TELESÁ (V MILIMETRECH)														
		0.000	0.100	0.200	0.300	0.400	0	1	2	3	4	5	6	7	8	9
22	11.00	149.6	148.5	147.4	146.5	145.7	145.1	144.6	144.3	144.2	144.2					
21	10.50	146.8	145.6	144.5	143.5	142.7	142.0	141.5	141.2	141.0	141.0					
20	10.00	143.8	142.5	141.4	140.3	139.5	138.8	138.3	137.9	137.7	137.7					
19	9.50	140.7	139.3	138.1	137.0	136.1	135.3	134.8	134.4	134.2	134.2					
18	9.00	137.4	135.9	134.6	133.4	132.5	131.7	131.1	130.7	130.6	130.6					
17	8.50	133.9	132.3	130.9	129.7	128.7	127.9	127.3	126.9	126.7	126.7					
16	8.00	130.2	128.5	127.0	125.8	124.7	123.8	123.2	122.8	122.5	122.5					
15	7.50	126.3	124.5	123.0	121.6	120.5	119.6	118.9	118.4	118.2	118.2					
14	7.00	122.1	120.3	118.6	117.2	116.0	115.1	114.3	113.9	113.6	113.6					
13	6.50	117.8	115.8	114.1	112.6	111.3	110.3	109.5	109.0	108.8	108.8					
12	6.00	113.1	111.1	109.3	107.7	106.3	105.3	104.5	103.9	103.7	103.7					
11	5.50	108.3	106.1	104.2	102.5	101.1	99.9	99.1	98.5	98.2	98.2					
10	5.00	103.1	100.9	98.8	97.0	95.5	94.3	93.4	92.8	92.5	92.5					
9	4.50	97.7	95.3	93.1	91.2	89.6	88.4	87.4	86.8	86.5	86.5					
8	4.00	92.0	89.4	87.1	85.1	83.5	82.1	81.1	80.5	80.1	80.1					
7	3.50	85.9	83.2	80.8	78.7	76.9	75.5	74.5	73.8	73.4	73.4					
6	3.00	79.5	76.6	74.1	71.9	70.0	68.5	67.4	66.7	66.3	66.3					
5	2.50	72.8	69.7	67.0	64.2	62.2	61.2	60.0	59.2	58.8	58.8					
4	2.00	65.7	62.4	59.6	57.1	55.1	53.4	52.2	51.3	50.9	50.9					
3	1.50	58.1	54.7	51.2	49.1	46.9	45.2	43.9	43.0	42.6	42.6					
2	1.01	50.2	46.6	43.4	40.6	38.3	36.5	35.1	34.2	33.7	33.7					
1	0.51	41.5	37.7	34.4	31.6	29.2	27.4	26.0	25.1	24.7	24.7					
0	0.00	22.1	20.0	20.0	20.0	20.0	20.0	20.0	20.0	20.0	20.0					



VYPUSET NESTACIONARNIHO VEDENI TEPLA JEDNOSTRANNE OHRIUVANYM MATERIALEM  
 (TEPLOTA V URCITEM MISTE MATERIALU SE MENI S CASEM)  
 PRIBLIZNOU DIFERENCIU RESP. SCHMIDTOVOU GRAFICKOU METODOU

POCATECNI TEPLOTA MATERIALU (TELESA) UP = 20.0  
 TEPLOTA TEPELNEMO ZARICE RESP. OKOLI UV = 290.0  
 TEPELNA VODIVOST MATERIALU LAMBDA = 0.2100  
 SOUCINITEĽ TEPELNE VODIVOSTI A = 0.9700E- 7  
 SOUCINITEĽ PRESTUPU TEPLA ALFA = 100.0  
 VELIKOSŤ ELEMENUTL TLOUSTKY MATERIALU BX = 0.5000E- 4  
 POČET VYSETROVANÝCH ELEMENTARNÝCH USEKU M = 8  
 VYSETROVANA DOBA TEPELNEMO PUSODENI Z = 0.1100E 2  
 VELIKOSŤ VYSETROVANÝCH CASOVÝCH INTERVALU TAU = 0.5000

VELIKOSŤ CASOVÉ DIFERENCIE DT = 0.1289E- 1  
 RELATIVNÍ SOUCINITEĽ PRESTUPU TEPLA S = 0.2100E- 2  
 POČET VYPOČTU MEZI DVĚMA VÝSTUPY TEPLOT O = 39  
 ROZDÍL POCATECNI TEPLOTY MATERIALU A OKOLI DU = 270.0

TABULKA HODNOT TEPLOT V ZAVISLОСTI NA CASE A VZDALENosti OD POVRCHU TELESA

KR	CAS	VZDALENOST OD POVRCHU TELES(V MILIMETRECH)														
		0.000	0.100	0.200	0.300	0.400	0	1	2	3	4	5	6	7	8	9
22	11.00	214.5	212.7	211.1	209.7	208.6	207.7	207.0	206.5	206.2	206.2					
21	10.50	210.3	208.4	206.7	205.2	204.0	203.0	202.3	201.8	201.6	201.6					
20	10.00	205.8	203.8	202.0	200.5	199.2	198.2	197.4	196.9	196.6	196.6					
19	9.50	201.1	199.0	197.1	195.5	194.1	193.0	192.2	191.6	191.4	191.4					
18	9.00	196.1	193.9	191.9	190.2	188.7	187.6	186.7	186.1	185.8	185.8					
17	8.50	190.8	188.5	186.4	184.6	183.0	181.8	180.9	180.3	180.0	180.0					
16	8.00	185.3	182.8	180.6	178.7	177.1	175.8	174.8	174.1	173.8	173.8					
15	7.50	179.4	176.8	174.4	172.4	170.7	169.4	168.3	167.6	167.3	167.3					
14	7.00	173.2	170.4	168.0	165.0	164.0	162.6	161.5	160.8	160.4	160.4					
13	6.50	166.7	163.7	161.1	158.9	157.0	155.4	154.3	153.5	153.2	153.2					
12	6.00	159.7	156.7	153.9	151.5	149.5	147.9	146.7	145.9	145.5	145.5					
11	5.50	152.4	149.2	146.3	143.7	141.6	139.9	138.7	137.8	137.4	137.4					
10	5.00	144.7	141.3	138.2	135.5	133.3	131.5	130.2	129.3	128.8	128.8					
9	4.50	136.6	132.9	129.7	126.9	124.5	122.6	121.2	120.3	119.8	119.8					
8	4.00	128.0	124.1	120.7	117.7	115.3	113.3	111.8	110.8	110.3	110.3					
7	3.50	118.9	114.8	111.2	108.1	105.5	103.4	101.8	100.7	100.2	100.2					
6	3.00	109.3	105.0	101.2	97.8	95.1	92.8	91.2	90.0	89.5	89.5					
5	2.50	99.2	94.8	90.6	87.1	84.1	81.8	80.0	78.8	78.2	78.2					
4	2.00	88.5	83.7	79.4	75.7	72.6	70.1	68.3	67.0	66.4	66.4					
3	1.50	77.2	72.1	67.6	63.7	60.4	57.8	55.8	54.5	53.8	53.8					
2	1.01	65.3	59.9	55.1	51.0	47.5	44.8	42.7	41.3	40.6	40.6					
1	0.51	52.3	46.6	41.6	37.4	33.9	31.1	29.1	27.7	27.0	27.0					
0	0.00	23.2	20.0	20.0	20.0	20.0	20.0	20.0	20.0	20.0	20.0					











VYPOCET RESTACIONARNEHO VEDENI TEPLA JEDNOSTRANNE UHRIVANÝM MATERIALEM  
 (TEPLOTA V URČITEM MÍSTĚ MATERIAŁU SE MĚNI S ČASEM)  
 PRIMÍTIVNOU DIFERENČNÍ RESP. SCHMIDTOVOU GRAFIČKOU METODOU

POCATEČNÍ TEPLOTA MATERIAŁU (TELESA)  $\Delta T = 20.0$

TEPLOTA TEPELMEHO ZARIČE RESP. OKULI  $\Delta U = 300.0$

TEPELME VODIVOST MATERIAŁU LAMDA = 0.1700

SOUČINITEL TEPELME VODIVOSTI  $A = 0.8200E-7$

SOUČINITEL PRESTUPU TEPLA ALFA = 100.0

VELIKOST ELEMENTU ILUSTRKY MATERIAŁU BX = 0.2500E-4

POČET VYSETROVANÝCH ELEMENTARNÍCH OSLEDU  $N = 8$

VYSETROVÁNÍ ZDÍLA TEPELMEHO PUSOVÉHO  $Z = 0.1100E-2$

VELIKOST VYSETROVANÝCH CASOVÝCH INTERVALŮ  $TAU = 0.5000$

VELIKOST CASOVÉ DIFERENCE  $DT = 0.3811E-2$

RECENZNÍ SOUČINITEL PRESTUPU TEPLA  $S = 0.1700E-2$

POLEJ VYPOČTU MEZI DVEŘA VÝSLEDKY TEPLOT  $\theta = 131$

RIZIKO POCATELNI TEPLOTY MATERIAŁU A OKULI  $\Delta U = 280.0$

TABULKA HODNOT TEPLOT V ZAVISELOSTI NA ČASE A VZDÁLENOSTI OD POVRCHU TELESA

NR.	ČAS	VZDÁLENOST OD POVRCHU TELES (V MILIMETRECH)								
		0.000	0.050	0.100	0.150	0.200	0.250	0.300	0.350	0.400
22	11.00	279.1	278.8	278.5	278.3	278.1	278.0	277.8	277.7	277.7
21	10.50	278.5	278.2	278.9	278.6	275.4	275.2	275.1	275.0	275.0
20	10.00	278.8	273.3	272.9	272.6	272.4	272.2	272.0	271.9	271.9
19	9.50	270.4	270.0	269.7	269.3	269.0	268.9	268.5	268.4	268.4
18	9.00	268.7	268.3	265.9	265.5	265.2	264.9	264.7	264.6	264.6
17	8.50	262.7	262.2	261.7	261.3	260.9	260.5	260.4	260.3	260.2
16	8.00	258.1	257.5	257.0	256.5	256.1	255.8	255.5	255.4	255.3
15	7.50	252.9	252.3	251.7	251.1	250.7	250.4	250.1	249.9	249.8
14	7.00	247.2	246.4	245.7	245.1	244.6	244.3	244.0	243.8	243.7
13	6.50	240.7	239.8	239.1	238.4	237.8	237.4	237.1	236.8	236.7
12	6.00	233.4	232.4	231.6	230.8	230.2	229.7	229.3	229.1	229.0
11	5.50	225.2	224.1	223.2	222.3	221.5	221.1	220.7	220.4	220.2
10	5.00	216.0	214.8	213.7	212.8	212.0	211.4	210.9	210.5	210.4
9	4.50	205.7	204.4	203.1	202.1	201.2	200.5	200.0	199.6	199.4
8	4.00	194.1	192.6	191.2	190.1	189.1	188.3	187.7	187.3	187.1
7	3.50	181.1	179.4	177.9	176.6	175.4	174.5	173.9	173.4	173.2
6	3.00	166.5	164.6	162.9	161.4	160.1	159.1	158.4	157.9	157.6
5	2.50	150.2	148.0	146.0	144.4	143.0	141.8	141.0	140.4	140.1
4	2.00	131.0	129.3	127.1	125.2	123.7	122.4	121.5	120.8	120.5
3	1.50	111.1	108.3	105.9	103.8	102.0	100.6	99.5	98.8	98.4
2	1.01	87.9	84.8	82.0	79.6	77.5	76.0	74.9	74.1	73.7
1	0.51	61.9	58.3	55.2	52.6	50.3	48.5	47.2	46.3	45.9
0	0.00	22.0	20.0	20.0	20.0	20.0	20.0	20.0	20.0	20.0

VYPUCEŤ NESTACIONARNÍHO VEDENÍ TEPLA JEDNOSTRANNE OHŘIVANÝM MATERIALEM  
 (TEPLOTU V URČITÉM MÍSTĚ MATERIAŁU SE MENÍ S ČASEM)  
 PŘIBLÍZHOU DIFERENČNÍ RESP. SCHMIDTOVOU GRAFIČKOU METODOU

POCATEČNÍ TEPLOTA MATERIALU (TELESA)  $U_0 = 20.0$   
 TEPLOTA TEPELNÉHO ZÁRICE RESP. OKOLÍ  $U_{\infty} = 350.0$   
 TEPELNA VODIVOST MATERIAŁU LAMBDA = 0.1700  
 SOUČINITEĽ TEPELNE VODIVOSÍ A = 0.0200E- 2  
 SOUČINITEĽ PRESTUPU TEPLA ALFA = 100.0  
 VELIKOST ELEMENTU TLUDSTKY MATERIALU BX = 0.2500E- 4  
 POCET VYSETROVANÝCH ELEMENTARNÍCH USEKŮ N = 8  
 VYSETROVANÁ DOBA TEPELNÉHO PUSOBENÍ Z = 0.1100E- 2  
 VELIKOST VYSETROVANÝCH ČASOVÝCH INTERVALŮ TAU = 0.5000

VELIKOSTI ČASOVÉ DIFERENCE DT = 0.3911E- 2  
 RELATIVNÍ SOUČINITEĽ PRESTUPU TEPLA S = 0.1700E- 2  
 POCET VYPOČTU MEZI OVERA VÝSTUPY TEPLOT U = 131  
 ROZDÍL POCATEČNÍ TEPLOTY MATERIALU A OKOLÍ DU = 330.0

TABULKA HODNUTÍ TEPLOT V ZÁVISLOSTI NA ČASE A Vzdálenosti od povrchu telesa

KR	ČAS	Vzdálenost od povrchu telesa (v milimetrech)														
		0.000	0.050	0.100	0.150	0.200	0	1	2	3	4	5	6	7	8	9
22	11.00	325.3	325.0	324.7	324.4	324.2	324.0	323.9	323.8	323.7	323.7					
21	10.50	322.3	322.0	321.6	321.3	321.0	320.8	320.7	320.6	320.5	320.5					
20	10.00	318.9	318.5	318.1	317.8	317.5	317.2	317.1	316.9	316.9	316.9					
19	9.50	315.1	314.6	314.2	313.8	313.5	313.2	313.0	312.9	312.8	312.8					
18	9.00	310.8	310.3	309.8	309.3	309.0	308.7	308.5	308.3	308.2	308.2					
17	8.50	306.0	305.4	304.8	304.3	303.9	303.5	303.4	303.2	303.1	303.1					
16	8.00	300.8	299.9	299.3	298.7	298.3	297.9	297.6	297.4	297.3	297.3					
15	7.50	294.5	293.8	293.0	292.4	291.9	291.5	291.2	291.0	290.9	290.9					
14	7.00	287.7	286.9	286.0	285.4	284.8	284.3	283.9	283.7	283.6	283.6					
13	6.50	280.1	279.1	278.2	277.4	276.8	276.2	275.8	275.6	275.4	275.4					
12	6.00	271.5	270.4	269.4	268.5	267.8	267.2	266.7	266.4	266.3	266.3					
11	5.50	261.9	260.6	259.5	258.5	257.6	257.0	256.5	256.2	256.0	256.0					
10	5.00	251.0	249.5	248.3	247.2	246.3	245.6	245.0	244.6	244.3	244.4					
9	4.50	238.9	237.3	235.8	234.6	233.6	232.7	232.1	231.7	231.5	231.5					
8	4.00	225.2	223.4	221.8	220.4	219.3	218.3	217.6	217.1	216.9	216.9					
7	3.50	209.9	207.9	206.1	204.5	203.2	202.1	201.4	200.8	200.6	200.6					
6	3.00	192.7	190.4	188.4	186.5	185.2	184.0	183.1	182.5	182.2	182.2					
5	2.50	173.4	170.8	168.5	166.5	164.9	163.6	162.6	161.9	161.6	161.6					
4	2.00	151.7	148.8	146.3	144.0	142.2	140.7	139.6	138.8	138.4	138.4					
3	1.50	127.4	124.1	121.2	118.7	116.6	115.0	113.7	112.9	112.5	112.5					
2	1.01	100.0	96.3	93.1	90.3	87.9	86.1	84.7	83.7	83.2	83.2					
1	0.51	69.3	65.2	61.5	58.4	55.8	53.7	52.1	51.0	50.5	50.5					
0	0.00	22.4	20.0	20.0	20.0	20.0	20.0	20.0	20.0	20.0	20.0					

VYPOCET NESTACIONARNIU VLEDENI TEPLA JEDNOSTRANNE OHRIUVANYM MATERIALEM  
 (TEPLOTA V URCITEM MISTE MATERIALU SE MENI S CASEM)  
 PРИБЛИЖНОУ DIFERENČNÍ RESP. SCHMIDTOVOU GRAFICKOU METODOU

POCATEČNÍ TEPLOTA MATERIALU (TELESA) UP = 20.0

TEPLOTA TEPELNEHO ZARICE RESP. OKOLI UV = 150.0

TEPELNA VODIVOST MATERIALU LAMBDA = 0.1700

SOUČINITEĽ TEPELINE VODIVOSTI A = 0.8200E- 7

SOUČINITEĽ PRESTUPU TEPLA ALFA = 100.0

VELIKOSŤ ELEMENTU TLLOUDSTKY MATERIALU BX = 0.5000E- 4

POCET VYSETROVANÝCH ELEMENTÁRNÝCH USEKU N = 8

VYSETROVARA DOBA TEPELNEHO POKOPIENI Z = 0.1100E- 2

VELIKOSŤ VYSETROVANÝCH CASOVÝCH INTERVALU TAU = 0.5000

VELIKOSŤ CASOVÉ DIFERENCIE DT = 0.1524E- 1

RELATÍVNI SOUČINITEĽ PRESTUPU TEPLA S = 0.1700E- 2

POCET VYPOCETU MEZI DVEHA VÝSTUPY TEPLOT N = 33

RÚZDIL POCATEČNÍ TEPLOTY MATERIALU A OKOLI DU = 130.0

TABULKA HODNOT TEPLOT V ZAVISLOSTI NA CASE A VZDALENOSTI OD POVRCHU TELES

KR	CAS	VZDALENOST OD POVRCHU TELES (V MILIMETRECH)														
		0.000	0.100	0.200	0.300	0.400	0	1	2	3	4	5	6	7	8	9
22	11.00	115.5	114.5	113.6	112.9	112.2	111.7	111.3	111.0	110.9	110.9					
21	10.50	113.5	112.5	111.5	110.7	110.0	109.5	109.0	108.8	108.6	108.6					
20	10.00	111.4	110.3	109.3	108.4	107.7	107.1	106.7	106.4	106.2	106.2					
19	9.50	109.2	108.0	107.0	106.0	105.3	104.6	104.2	103.8	103.2	103.7					
18	9.00	106.8	105.6	104.5	103.5	102.7	102.0	101.5	101.2	101.0	101.0					
17	8.50	104.4	103.0	101.8	100.8	99.9	99.2	98.7	98.3	98.1	98.1					
16	8.00	101.2	100.3	99.0	97.9	97.0	96.3	95.7	95.3	95.1	95.1					
15	7.50	98.9	97.4	96.1	94.9	93.9	93.2	92.6	92.2	92.0	92.0					
14	7.00	96.0	94.4	93.0	91.7	90.7	89.9	89.2	88.8	88.6	88.6					
13	6.50	92.9	91.2	89.7	88.4	87.3	86.4	85.7	85.3	85.1	85.1					
12	6.00	89.6	87.8	86.2	84.8	83.6	82.7	82.0	81.6	81.3	81.3					
11	5.50	86.1	84.2	82.5	81.0	79.8	78.8	78.1	77.6	77.4	77.4					
10	5.00	82.4	80.4	78.6	77.0	75.8	74.7	73.9	73.4	73.2	73.2					
9	4.50	78.5	76.3	74.5	72.8	71.5	70.4	69.5	69.0	68.7	68.7					
8	4.00	74.3	72.1	70.1	68.4	66.9	65.8	64.9	64.3	64.0	64.0					
7	3.50	70.0	67.8	65.5	63.7	62.1	60.9	60.0	59.4	59.0	59.0					
6	3.00	65.3	62.8	60.6	58.7	57.0	55.7	54.8	54.1	53.8	53.8					
5	2.50	60.4	57.8	55.4	53.4	51.7	50.3	49.3	48.6	48.2	48.2					
4	2.00	55.3	52.4	50.0	47.8	46.0	44.5	43.4	42.7	42.3	42.3					
3	1.50	49.8	46.8	44.2	41.9	40.0	38.4	37.3	36.5	36.1	36.1					
2	1.01	44.0	40.8	38.0	35.6	33.6	32.0	30.8	30.0	29.6	29.6					
1	0.51	37.5	34.2	31.3	28.8	26.8	25.2	24.1	23.3	23.0	23.0					
0	0.00	21.9	20.0	20.0	20.0	20.0	20.0	20.0	20.0	20.0	20.0					



VÝPOCET NESTACIONARNÍHO VEDENÍ TEPLA JEDNOSTRANNE OHŘIVANÝM MATERIALEM  
 (TEPLOTA V URCITÉM MÍSTĚ MATERIALU SE MENÍ S CASEM)  
 PŘIBLÍZNOU DIFERENČNÍ RESP. SCHMIDTOVOU GRAFICKOU METODOU

POCATEČNÍ TEPLUTA MATERIALU (TELESA)  $U_0 = 20.0$

TEPLUTA TEPELNÉHO ZÁRICE RESP. OKOLÍ  $U_{\infty} = 250.0$

TEPELNA VODIVOST MATERIALU LAMBDA = 0.1700

SOUČINITEL TEPELNE VODIVOSTI A = 0.8200E- 7

SOUČINITEL PRESTOPU TEPLA ALFA = 100.0

VELIKOST ELEMENTU TLoustky MATERIALU DX = 0.5000E- 4

POCET VYSETROVANÝCH ELEMENTARNÍCH USEKU N = 8

VYSETROVANÁ DOBA TEPELNÉHO FUSOBENÍ Z = 0.1100E 2

VELIKOST VYSETROVANÝCH CASOVÝCH INTERVALŮ TAU = 0.5000

VELIKOST CASOVÉ DIFERENCE DT = 0.1524E- 1

RELATIVNÍ SOUČINITEL PRESTOPU TEPLA S = 0.1700E- 2

POCET VYPOLTU MEZI DVĚMA VÝSTUPY TEPLOT N = 33

ROZDÍL POCATEČNÍ TEPLUTY MATERIALU A OKOLÍ DU = 230.0

TABULKA HODNOT TEPLOT V ZÁVISLOSTI NA CASE A VZDALENOSTI OD POVRCHU TELESA

KR	CAS	VZDALENOST OD POVRCHU TELES(V KULOMETRECH)												
		0.000	0.100	0.200	0.300	0.400	0	1	2	3	4	5	6	7
22	11.00	189.0	187.3	185.7	184.3	183.1	182.2	181.5	181.0	180.8	180.8			
21	10.50	185.5	183.7	182.0	180.5	179.3	178.3	177.5	177.0	176.8	176.8			
20	10.00	181.8	179.8	178.0	176.5	175.2	174.1	173.3	172.8	172.5	172.5			
19	9.50	177.9	175.8	173.9	172.2	170.8	169.7	168.9	168.3	168.1	168.1			
18	9.00	173.7	171.7	169.5	167.2	166.3	165.1	164.2	163.6	163.3	163.3			
17	8.50	169.3	166.9	164.8	163.0	161.4	160.2	159.3	158.6	158.3	158.3			
16	8.00	164.6	162.1	159.9	157.9	156.3	155.0	154.0	153.3	153.0	153.0			
15	7.50	159.7	157.0	154.7	152.6	150.9	149.5	148.5	147.8	147.4	147.4			
14	7.00	154.5	151.7	149.1	147.0	145.2	143.7	142.6	141.8	141.5	141.5			
13	6.50	148.9	146.0	143.3	141.0	139.1	137.5	136.4	135.6	135.2	135.2			
12	6.00	143.1	140.0	137.1	134.7	132.7	131.0	129.8	129.0	128.6	128.6			
11	5.50	136.9	133.6	130.6	128.1	125.9	124.2	122.9	122.0	121.5	121.5			
10	5.00	130.4	126.9	123.2	121.0	118.7	116.9	115.5	114.6	114.1	114.1			
9	4.50	123.5	119.8	116.4	113.5	111.1	109.2	107.7	106.8	106.3	106.3			
8	4.00	116.2	112.2	108.7	105.7	103.1	101.0	99.5	98.4	97.9	97.9			
7	3.50	108.4	104.3	100.5	97.3	94.6	92.4	90.8	89.7	89.1	89.1			
6	3.00	100.2	95.8	91.8	88.4	85.6	83.3	81.6	80.4	79.8	79.8			
5	2.50	91.6	86.9	82.7	79.1	76.1	73.6	71.8	70.6	70.0	70.0			
4	2.00	82.4	77.4	73.0	69.2	66.0	63.5	61.5	60.2	59.6	59.6			
3	1.50	72.7	67.5	62.8	58.8	55.4	52.7	50.6	49.3	48.6	48.6			
2	1.01	62.5	56.9	51.9	47.7	44.1	41.3	39.1	37.7	37.0	37.0			
1	0.51	51.0	45.1	39.9	35.6	32.1	29.3	27.3	25.9	25.3	25.3			
0	0.00	23.3	20.0	20.0	20.0	20.0	20.0	20.0	20.0	20.0	20.0			

VYPOCET NESTACIONARNIHO VEDENI TEPLA JEDNOSTRANNE OHRIVANYM MATERIALEM  
 (TEPLOTA V URCITEM MISTE MATERIALU SE MENI S CASEM)  
 PРИБЛИЖНОУ DIFERENČNÍ RESP. SCHMIDTOVOU GRAFIČKOU METODOU

POCATECNI TEPLOTA MATERIALU (TELESA) UP = 20.0

TEPLOTA TEPELNEHO ZARICE RESP. OKOLI UV = 300.0

TEPELNA VODIVOSŤ MATERIALU LAMBDA = 0.1700

SOUČINITEL TEPELNE VODIVOSTI A = 0.8200E- 7

SOUČINITEL PRESTUPU TEPLA ALFA = 100.0

VELIKOSŤ ELEMENTU TLOUSTKY MATERIALU DX = 0.5000E- 4

POCET VYSETROVÁRYCH ELEMENTÁRICH USEKU N = 8

VYSETROVÁRA DOBA TEPELNEHO POKOPIČNÍ Z = 0.1100E- 2

VELIKOSŤ VYSETROVÁRYCH CASOVÝCH INTERVALU TAU = 0.5000

VELIKOSŤ CASOVÉ DIFERENCIE DT = 0.1524E- 1

RELATIVNÍ SOUČINITEL PRESTUPU TEPLA S = 0.1700E- 2

POCET VYPOCETU MEZI DVĚMA VÝSTUPY TEPLIT O = 33

ROZDIL POCATECNI TEPLOTY MATERIALU A OKOLI DU = 280.0

TABULKA HODNÚT TEPLIT V ZAVISLОСТИ NA CASE A VZDALENOSTI OD PUVRCHU TELESÁ

KR	CAS	VZDALENOSŤ OD PUVRCHU TELESÁ (V MILIMETRECH)									
		0	1	2	3	4	5	6	7	8	9
22	11.00	225.8	223.6	221.7	220.0	218.6	217.5	216.6	216.0	215.7	215.7
21	10.50	221.5	219.2	217.2	215.4	213.9	212.7	211.8	211.2	210.9	210.9
20	10.00	217.0	214.6	212.4	210.5	208.9	207.6	206.7	206.0	205.7	205.7
19	9.50	212.2	209.8	207.3	205.3	203.6	202.3	201.3	200.5	200.3	200.3
18	9.00	207.1	204.4	201.9	199.8	198.1	196.6	195.6	194.8	194.5	194.5
17	8.50	201.7	198.9	196.3	194.0	192.2	190.7	189.5	188.8	188.4	188.4
16	8.00	196.1	193.0	190.3	187.9	185.9	184.3	183.1	182.3	181.9	181.9
15	7.50	190.1	186.8	183.9	181.4	179.3	177.7	176.4	175.5	175.1	175.1
14	7.00	183.7	180.3	177.2	174.6	172.4	170.6	169.2	168.3	167.9	167.9
13	6.50	177.0	173.4	170.1	167.3	165.0	163.1	161.7	160.7	160.2	160.2
12	6.00	169.9	166.0	162.6	159.7	157.2	155.2	153.7	152.7	152.2	152.2
11	5.50	162.4	158.3	154.7	151.5	148.9	146.8	145.2	144.2	143.6	143.6
10	5.00	154.4	150.1	146.3	143.0	140.2	137.9	136.3	135.1	134.6	134.6
9	4.50	146.0	141.4	137.4	133.9	130.9	128.6	126.8	125.6	125.0	125.0
8	4.00	137.1	132.3	128.0	124.3	121.2	118.7	116.8	115.5	114.9	114.9
7	3.50	127.7	122.6	118.0	114.1	110.8	106.2	104.9	104.2	104.2	104.2
6	3.00	117.7	112.3	107.5	103.4	99.8	97.0	94.9	93.5	92.8	92.8
5	2.50	107.2	101.5	96.3	92.0	88.3	85.3	83.1	81.6	80.9	80.9
4	2.00	96.0	89.9	84.6	79.9	76.0	72.9	70.6	69.0	68.2	68.2
3	1.50	84.2	77.8	72.1	67.2	63.1	59.8	57.3	55.6	54.8	54.8
2	1.01	71.7	64.9	58.9	53.7	49.4	45.9	43.3	41.5	40.7	40.7
1	0.51	57.8	50.5	44.3	39.0	34.7	31.3	28.9	27.2	26.4	26.4
0	0.00	24.1	20.0	20.0	20.0	20.0	20.0	20.0	20.0	20.0	20.0

